

UNIVERZITA KARLOVA

1. LÉKAŘSKÁ FAKULTA



**Aktivace zániku neuronů neurotoxickými  
vlivy a její ovlivnění**

**Autoreferát doktorské dizertační práce**

**MUDr. Vladimír Riljak**

Dizertační práce byla vypracována v rámci doktorského studijního programu v biomedicině ve Fyziologickém ústavu 1. lékařské fakulty UK v Praze.

Autor: MUDr. Vladimír Rířák

Školitel: prof. MUDr. Miloš Langmeier, DrSc.

Adresa: Fyziologický ústav 1. LF UK  
Albertov 5  
128 00 Praha 2

Obor: 05 – Fyziologie a patofyziologie člověka

Oponenti:

Autoreferát byl rozeslán dne .....

Obhajoba dizertace se koná dne .....v .....hodin před komisí pro obhajoby doktorských dizertací.

S dizertací je možno se seznámit na děkanátě 1. lékařské fakulty Univerzity Karlovy, Kateřinská 32, 121 08 Praha 2

Předseda komise pro obhajobu:  
prof. MUDr. Stanislav Trojan, DrSc.  
Fyziologický ústav 1. LF UK  
Albertov 5  
128 00 Praha 2

**Obsah**

Úvod	6
Cíle práce	9
Pracovní hypotéza	10
Metodické postupy	10
Výsledky	13
18 denní zvířata	13
25 denní zvířata	19
35 denní zvířata	25
Diskuse	31
Souhrn	34
Literatura	36
Přehled vědecké a publikační činnosti	41
Summary	43

Rád bych poděkoval svému školiteli panu prof. MUDr. Miloši Langmeierovi, DrSc. nejen za odborné vedení během postgraduálního studia, ale především za úsilí, které věnoval mé přípravě již během studia pregraduálního, za diskuzi mých výsledků a všestrannou podporu během mé vědecké přípravy.

Dále bych rád poděkoval panu prof. MUDr. Stanislavu Trojanovi, DrSc., panu prof. MUDr. Jaroslavu Pokornému, DrSc. a paní doc. MUDr. Daně Marešové, CSc. za cenné odborné rady, připomínky a za jazykové korektury odborných textů.

MUDr. Kateřině Jandové, Ph.D. děkuji za pomoc se statistickým zpracováním dat a jejich grafickým výstupem.

### Funkční morfologie hippocampální formace

Hippocampus je klíčovou, intenzivně studovanou, strukturou limbického systému. Byla mu přiznána řada úloh, za všechny jmenujeme řízení některých typů chování a organizaci paměťových stop. Tato struktura není zkoumána jen z důvodu poznání její úlohy v rámci celého centrálního nervového systému (CNS), ale je studována i z hlediska obecných nervových funkcí. Hippocampus představuje ideální model v morfologických studiích vzhledem ke svému poměrně pravidelnému rozložení neuronů a jejich dendritických polí, podrobnému popsaní aferentních i eferentních drah a v neposlední řadě vzhledem ke svému dlouhodobému postnatálnímu vývoji, který umožňuje studium změn během ontogeneze (Pokorný, 1982).

### Kainát a jeho vliv na centrální nervový systém

Kainát (kyselina kainová, KA) byl poprvé izolován z mořské řasy *Digenea simplex*. Po druhé světové válce byl v Japonsku používán jako antihelmintikum. Teprve v sedmdesátých letech minulého století popsali Shikonazi a Konishi jeho toxické účinky na centrální nervový systém savců (Shikonazi a Konishi, 1970), čímž byla odstartována éra experimentálního používání kainátu jako modelu lidské temporální epilepsie, ale i dalších neurodegenerativních chorob. V roce 1974 Olney publikoval výsledky práce sledující podrobně neurotoxické účinky kainátu na CNS (Olney a spol., 1974).

Nejčastěji používaným savcem pro studium kainátu je laboratorní potkan. Pouze několik prací studovalo jeho účinky na kočkách (Tanaka a spol., 1982), králících (Smialowski a Smialowski, 1981) nebo myších (Kleinrok a spol., 1980). V zásadě je možné kainát aplikovat lokálně nebo systémově.

### Mechanismy toxicity kainátu a jejich význam pro poškození CNS

#### 1. Molekulární mechanismy

Exaktní a přesný molekulárně-biologický mechanismus, jakým kainát vyvolává zánik buňky, nebyl dosud uspokojivě objasněn, nicméně existuje řada hypotéz.

- Zánik buňky je způsoben opakovanou excitací neuronu, což v souhrnu vede k ireverzibilnímu rozvratu iontové rovnováhy neuronu a k vyčerpání energetických zásob buňky. Zánik buňky je způsoben i excesivním vzestupem intracelulární koncentrace  $Ca^{2+}$  v nervové buňce, což je důsledek extrémně zvýšené neuronální aktivity (Olney a spol., 1979, Ben-Ari a spol., 1981).
- Intenzivní záchvatovitá aktivita vyvolá poruchy vaskulární dynamiky v CNS resp. tvorbu toxických produktů zvýšeného metabolismu (laktát) s následnou změnou tkáňového pH, což vede k zániku buňky (Lothman a Collins, 1981).
- Extrémně zvýšený buněčný metabolismus během záchvatovité aktivity vyvolává nadprodukcii volných radikálů, které pak mohou být zodpovědné za buněčnou smrt (Blennow a spol., 1978, Wang a spol., 2005).

#### 2. Buněčné mechanismy

Studiem popisovaného zvířecího modelu neurodegenerace byly definovány a v současné době jsou nadále doplňovány mechanismy, kterými kainát popisovaně léze CNS vyvolává.

##### A) Kainátem přímo indukované „axonv šetřící léze“

Kainát, je-li aplikován systémově, překračuje pouze v nepatrném množství hematoencefalickou bariéru (HEB) a poškozuje vulnerabilní struktury mozku, především

hippocampus, ve kterém vyvolává excitotoxické léze (Olney a spol., 1978, Köhler a Schwarz, 1983). Jedním z důvodů značné citlivosti hippocampu ke kainátu je vysoká denzita kainátových receptorů v této oblasti (Unnerstall a Wamsley, 1983). Hippocampus je poškozen i tehdy, je-li kainát lokálně aplikován do jiné struktury CNS, například amygdaly nebo striata. Tyto „vzdálené léze“ mohou být podle některých autorů způsobeny prostorovou difúzí kainátu (Zaczek a spol., 1978, Ben-Ari, 1980b), podle jiných se jedná spíše o poškození záchvatu, které hippocampus sekundárně alteruje.

##### B) Excitotoxicita a léze způsobené aktivací excitačních nervových drah

První ucelený koncept pojmu excitotoxicita podal na konci sedmdesátých let John Olney (Olney, 1978). Definuje ji jako: „proces vedoucí k zániku nervových buněk, zapříčiněným excesivní aktivací glutamátových receptorů“. Role tohoto procesu v etiologii řady chorob centrální nervové soustavy je nepopiratelná (především chorob neurodegenerativních) a je velmi intenzivně studována jak experimenty in vitro, tak in vivo (Langmeier a spol., 2003, Sanelli a spol., 2007, Vaslin a spol., 2007).

##### C) Kainátem indukované sekundární poškození mozku způsobené asociovanými patologickými jevy (hypoxie, edém)

Je pochopitelné, že při interpretaci důsledků aplikace kainátu je třeba uvažovat, zda podání této látky narušuje celotělovou homeostázu zvířete. Podání excitotoxinu provází masivní edém mozku, nespecifická progredující nekróza mozkové tkáně, masivní hemoragie a demyelinizace (Sperk a spol., 1983). Významnou roli při poškození mozku hraje především zmíněný edém. Časný cytotoxický edém způsobený konvulzemi může vést ke kompresi venózních splavů a celkově tak narušit cévní zásobení mozku. Účinná diuretická léčba v časném stádiu rozvoje edému vede ke snížení intenzity záchvatu a snižuje nespecifické poškození mozku (Lassmann a spol., 1984).

##### D) Kainátem indukované změny hematoencefalické bariéry

Záchvatovitá aktivita přispívá v různé míře k poškození HEB a jejímu následnému otevření (Nitsch a spol., 1986). Zvýšená je aktivita transmembránového transportu, zatímco „tight junctions“ zůstávají nepoškozeny (Lassmann a spol., 1984). HEB jeví známky poškození ještě několik hodin po aplikaci kainátu a tyto změny jsou pozorovatelné v celém jejím rozsahu. Později vykazuje HEB poškození v těch oblastech CNS, které jsou na kainát nejcitlivější (Lassmann a spol., 1984).

### Nikotin a jeho vliv na centrální nervový systém

Nikotin je jednou z nejvýznamnějších součástí tabákového kouře (Benowitz, 1986). Ačkoliv destruktivní účinek kouření na zdraví se má za prokázaný (Murray a Lopez, 1997, Abreu-Villaça a spol., 2003), byly samotnému nikotinu v posledních letech připsány pozitivní vlastnosti, jako je zlepšení kognitivních funkcí, pozornosti, učení a zlepšení tvorby paměťových stop (Bartus, 2000, Picciotto a Zoli, 2002). Tyto jevy jsou pak zvláště patrné během stárnutí, a proto se nikotin stal intenzivně studovanou látkou (Decker a spol., 1995, Picciotto a Zoli, 2002, Riljak a Langmeier, 2005).

Na možné neuroprotektivní vlastnosti nikotinu poukázaly v posledních letech jak studie in vitro, tak především in vivo (Shin a spol., 2007). Jednorázové podání nikotinu v dávce 0.5mg/kg vede k signifikantnímu zmírnění behaviorálně-motorických projevů, které jsou běžně vyvolávány aplikací kyseliny kainové (Borlongan a spol., 1995). Dále byla prokázána schopnost cigaretového kouře zmírňovat epileptogenní účinky kainátu a autoři připisují tento účinek aktivaci nikotinových cholinergních receptorů (Kim a spol., 2000).

Studie zaměřeny poněkud jiným směrem, a to na problematiku stáří, prokázaly, že nikotin zlepšuje učení a paměť ve stáří, resp. odstraňuje nebo zmírňuje deficit těchto kognitivních vlastností v animálních modelech stáří (Carrasco a spol., 2006). V experimentech prováděných in vitro bylo popsáno, že nikotin, je schopen zmírnit projevy toxicity vyvolané kyselinou glutamovou (Minana a spol., 1998, Maggio a spol., 1998), amyloidem beta (Kihara a spol., 1997) a etanolem (Li a spol., 1999).

Mechanismus, který tyto účinky nikotinu způsobuje, není doposud znám. V literatuře panuje nicméně shoda, že nikotin pravděpodobně ovlivňuje životní cyklus buňky řadou zásahů, od jemné modulace intracelulárních enzymatických kaskád až po razantní zásahy do buněčné homeostázy (např. kalciové apod.).

Ve zjednodušené formě lze doposud diskutované mechanismy neuroprotektivního účinku nikotinu rozdělit:

#### 1. Neuroprotektivní účinek nikotinu kalcium-dependenční

(i) Nikotin může aktivovat fosfatidylinositol-3-kinázu a další signální molekuly, které zvyšují expresi kalcium pufrujících proteinů (kalbindinu a dalších), ty pak umožňují udržet vápníkovou homeostázu i během excitotoxického inzultu (Prendergast, 2001, Bailador a Wonnacott, 2004).

(ii) Jiným vápník-dependenčním mechanismem je například zvýšené uvolnění neurotransmiteru dopaminu v animálním modelu Parkinsonovy choroby, nikotin tak zmírňuje nebo zcela odstraňuje její projevy (Grady a spol., 1992, Zhou a spol., 2001).

#### 2. Neuroprotektivní účinek způsobený expresí neuroprotektivních faktorů

Nikotin stimuluje produkci a uvolnění řady neurotrofických faktorů (např.: brain derived neurotrophic factor, basic fibroblast growth factor, nerve growth factor), které pak zabraňují zániku neuronů nebo jsou příčinou jejich vyšší odolnosti (Belluardo a spol., 2000).

#### 3. Regulace apoptózy

Nikotin ovlivňuje expresi antiapoptotických faktorů, respektive vyvolává inhibici faktorů proapoptotických. Jedná se především o upregulaci antiapoptotického markeru Bcl-2 a dále o inhibici kaspázové kaskády (Garrido a spol., 2001, Hejmadi a spol., 2003).

#### 4. Antioxidační vlastnosti nikotinu (inhibice radikálového stresu)

Některé práce poukazují na antioxidační vlastnosti nikotinu, s tím, že by nikotin mohl bránit formaci volných kyslíkových radikálů. Naproti tomu ale existují práce, které naopak nikotinu připisují prooxidační vlastnosti a v souhrnu tedy panuje na tento mechanismus nikotinové neuroprotektce nejednotný názor (Newman a spol., 2002).

#### Oxid dusnatý a jeho úloha v centrálním nervovém systému

Oxid dusnatý (NO) je důležitou signální molekulou, která se podílí na celé řadě fyziologických i patologických procesů v centrální nervové soustavě. NO je vysoce labilní plyn, není skladován a velmi snadno difunduje tkáněmi k místu svého působení. V CNS plní úlohu tzv. atypického neuromodulátoru (Dawson a Snyder, 1994) a účastní se dějů jako je uvolňování neurotransmiterů (Guevara-Guzman a spol., 1994, Schuman a Madison 1994), formování paměťové stopy (Bohme a spol., 1991, Bohme a spol., 1993) a v neposlední řadě ovlivňuje excitabilitu nervových buněk (Proctor a spol., 1996). Kromě zmíněných fyziologických rolí, se oxid dusnatý účastní i v patogenezi řady chorob, v CNS pak především chorob neurodegenerativních (Dawson a spol., 1991, Iadecola, 1997).

NO vzniká společně s L-citrulinem z L-argininu za přítomnosti nitric oxid syntázy (NOS), která celou reakci katalyzuje. Jsou známy 3 izoformy nitric oxid syntázy. Neuronální NOS (nNOS), která byla poprvé izolována z cerebela, je společně s endoteliální NOS (eNOS), poprvé izolovanou z endotelií, závislá na vzestupu intracelulárního kalcia, především je pak aktivována vazbou kalcia na kalmodulin, obě izoformy jsou nazývány konstitutivními enzymy. Oproti tomu inducibilní NOS (iNOS) lze detekovat až po navedení genové exprese a její aktivita není závislá na kalcii. Je exprimována astrocyty a mikroglíi pouze za patologických stavů mozku, které jsou doprovázeny zánětlivou reakcí. Jedná se především o hypoxii, iktus, trauma, infekce, neurodegenerativní onemocnění a stárnutí (Endoh a spol., 1994, Clark a spol., 1996, Kreutzberg, 1996, Mander a Brown, 2004).

V centrálním nervovém systému jsou přítomny všechny 3 izoformy NOS. eNOS je přítomna v endotelu mozkových cév a iNOS v aktivovaných neuroglíích. Hlavní formou NOS je však neuronální NOS. NO syntetizující neurony byly primárně pokládány za subpopulaci GABA-ergních neuronů, nicméně bylo prokázáno, že nNOS může kolokalizovat s celou řadou mediátorů, jako jsou monoaminy, acetylcholin, glutamát či neuroaktivní peptidy (Atoji a spol., 2000, Mouchova a spol., 2000, Jinno a spol., 2001).

Mechanismus, jakým NO přispívá k patogenezi zmíněných chorob, nebyl doposud plně objasněn. Jedním z vysvětlení by mohla být jeho účast v kaskádě dějů souvisejících s excitotoxicitou. Dawson a spolupracovníci prokázali, že se NO významně podílí na vývoji excitotoxicity způsobené aktivací NMDA receptorů, kdy inhibitory NOS zcela zabránili zániku kortikálních neuronů vystavených působení glutamátu a stejný výsledek mělo i odstranění L-argininu z kultivačního media (Garthwaite, 1991, Dawson a Dawson, 1996, Burney a spol., 1997). Excesivní formace NO je dále považována za rozhodující moment při poškození mozku látkami vyvolávajícími záchvatovou aktivitu neuronů, jako jsou inhibitory acetylcholinesterázy a agonisté cholinergních a glutamátových receptorů (Milatovic a spol., 2002). NO totiž ochotně reaguje se superoxidovým aniontem za vzniku vysoce reaktivního peroxynitritu, který je pak vlastním aniontem zprostředovávajícím toxicitu oxidu dusnatého. Peroxynitrit reaguje s proteinovými komponenty buňky, poškozuje DNA a aktivuje jak kaspáza-dependenční, tak independentní dráhu buněčné smrti (Blomgren a Hagberg, 2005, Rodrigo a spol., 2005). Sám oxid dusnatý je dále schopen modifikovat některé buněčné proteiny nitrací a nitrosylací a takto modifikované proteiny mohou narušovat buněčné funkce. Je ale třeba podotknout, že systém nitrosylací nitrací je významným regulačním mechanismem funkce proteinů i za fyziologických stavů a podmínek (Zhang a spol., 2005). Oxidu dusnatému byla rovněž připsána úloha v toxicitě kainátu. Milatovic a spolupracovníci prokázali, že aplikace kainátu vyvolává vzestup koncentrace citrulinu a NO, který by mohl poškodit strukturu buňky (Milatovic a spol., 2002).

#### Cíle práce

Cílem práce bylo zjistit, zda v období rané ontogeneze:

- I. podaný kainát ovlivní denzitu (počet buněk na plochu řezu ve vymezené oblasti) NADPH-diaforáza pozitivních neuronů v hippocampu
- II. podaný nikotin ovlivní denzitu NADPH-diaforáza pozitivních neuronů v hippocampu
- III. premedikace nikotinem před podáním kainátu ovlivní denzitu NADPH-diaforáza pozitivních neuronů v hippocampu
- IV. premedikace nikotinem před podáním kainátu ovlivní degeneraci hippocampu vyvolanou kainátem

## Pracovní hypotéza

### Pracovní hypotéza I.

Aplikace kainátu sníží denzitu NADPH-diaforáza pozitivních neuronů v hippocampu.

### Pracovní hypotéza II.

Aplikace nikotinu zvýší denzitu NADPH-diaforáza pozitivních neuronů v hippocampu.

### Pracovní hypotéza III.

Aplikace nikotinu před podáním kainátu zvýší denzitu NADPH-diaforáza pozitivních v porovnání s experimentální skupinou, které byl podán pouze kainát.

### Pracovní hypotéza IV.

Aplikace nikotinu před podáním kainátu zmírní degenerativní změny, které kainát v hippocampu vyvolává.

## Metodické postupy

### Pokusná zvířata

Všechny pokusy byly prováděny ve Fyziologickém ústavu 1. LF UK na samcích laboratorního potkana kmene Wistar vlastního chovu (*Rattus norvegicus*). Zvířata byla chována ve zvířetníku za standardních podmínek. Teplota prostředí byla automaticky udržována na  $24 \pm 1^\circ\text{C}$ , vlhkost byla 60%. Períody tmy a světla se střídaly po 12 hodinách. Zvířata byla chována v plastických akváriích s pilinovou podestýlkou (30 x 30 x 40 cm) a s volným přístupem k vodě a potravě (komerčně vyráběné pelety). Mláďata byla kojena matkou a odstavena na konci 3. týdne. Používali jsme mláďata stará 18, 25 a 35 dní. Den narození byl počítán jako nultý den. Všechny experimenty na zvířatech byly prováděny v souladu se zákonem na ochranu zvířat proti týrání č. 146/1992 Sb. tak, aby byl minimalizován jejich nezbytný počet. Předkladatel této práce je držitelem příslušného atestu a absolvoval školení dle znění zákona.

### Aplikace látek

K pokusům jsme použili samce ve věku 18, 25 a 35 dní. V každé věkové skupině jim byly intraperitoneálně podány tyto látky:

1. kainát v dávce 10mg/kg (skupina KA)
2. nikotin v dávce 1mg/kg (skupina Nic)
3. nikotin v dávce 1mg/kg 30 minut před podáním kainátu v dávce 10mg/kg (skupina Nic+KA)
4. fyziologický roztok v odpovídajících objemech (skupina C)

### Perfúze

Dva dny po aplikaci příslušných látek (tedy ve věku 20, 27, a 37 dní) byla zvířata v hluboké thiopentalové narkóze transaortálně perfundována 4% paraformaldehydem v 0,1 M fosfátovém pufru o pH 7,4. Mozky byly vyjmuty z kalvy a po 1 hodinové postfixaci ve 4% pufovaném neutrálním paraformaldehydu byly prosyceny 20% roztokem sacharózy k zajištění kryoprotekce.

## Histochemické metody

Histologické analýze bylo podrobena celkem 96 samců, tedy 8 v každé věkové a experimentální skupině. Bylo použito:

- a) histochemické barvení na průkaz NADPH-d (nikotinamid-adenin-dinukleotidfosfát-diaforáza) pozitivních neuronů, tedy neuronů produkujících NO (nitrogenní neuronů),
- b) kombinace histochemického barvení Fluoro-Jade B a bis-benzimidu (Hoechst 33342), která umožňuje detekovat jak zanikající neuronů, tak současně hodnotit jadernou DNA (tedy de facto hodnocení probíhající apoptózy). Tato dvě barvení jsou barvení fluorescenční, mající svůj „excitační peak“ v jiné části spektra, což umožňuje tato barvení kombinovat na jednom řezu a hodnotit tak oba parametry. To významně snížilo počet experimentálních zvířat potřebných k analýze.

### a) Barvení na průkaz NADPH-d pozitivních neuronů

Po nakrájení 40  $\mu\text{m}$  tlustých transverzálních řezů na kryostatu byly tyto řezy inkubovány v 0,1 M fosfátovém pufru obsahujícím 0,5 mg/ml  $\beta$ -NADPH reductázy (Sigma), 0,2 mg/ml Nitro blue tetrazolium (NBT, Sigma) a 0,3% Triton po 4 hodiny při  $37^\circ\text{C}$  v termostatu. Po této reakci byly řezy ponořeny do 0,1 M fosfátového pufru a uchovány při  $8^\circ\text{C}$  po dobu 16 hodin. Po histochemické reakci byly řezy umístěny na předčištěná podložní skla Microscope Slides (Menzel-Gläser), potažená 0,5% želatinou, usušeny a překryty krycími skly Microscope Cover Glasses (Menzel-Gläser) za použití D.P.X. Neutral Mounting Medium (Aldrich) (Wang a spol., 2001).

V jednotlivých řezech byly NADPH-d pozitivní neuronů kvantifikovány v optickém mikroskopu Olympus AX 70 Provis.

Ke kvantifikaci bylo použito vždy 25-30 frontálních řezů získaných v AP rovině 2,5-4 mm od bregmatu z každého mozku. V řezech byly vymezeny hranice oblastí hippocampu, v nichž byl stanoven počet všech NADPH-d pozitivních buněk bez ohledu na intenzitu zbarvení. V další části naší studie používaný termín denzita NADPH-d pozitivních buněk tedy vyjadřuje celkový počet NADPH-d pozitivních buněk v příslušné hodnocené oblasti v jednom řezu, a to:

- 1) v CA1 oblasti hippocampu
- 2) v CA3 oblasti hippocampu
- 3) v hilus gyrus dentatus
- 4) ve ventrálním listu gyrus dentatus (VB DG)
- 5) v dorzální listu gyrus dentatus (DB DG).

V rámci statistického hodnocení jsme sledovali rozdíly hodnot u kontrolních a experimentálních skupin a u vybraných experimentálních skupin navzájem. Ke statistickému vyhodnocování sledovaných parametrů jsme použili program GraphPadPrism 2.01, analýzu rozptylu One Way Anova a k porovnání rozdílného počtu neuronů nepárový t-test. Hladina významnosti byla stanovena na 5% ( $p \leq 0,05$ ).

### b) Kombinace barvení Fluoro-Jade B a barvení bis-benzimidu (Hoechst 33342)

V kryostatu nakrájené 40  $\mu\text{m}$  tlusté transverzální řezy byly inkubovány v 0,1 M fosfátovém pufru, poté přeneseny na podložní skla Microscope Slides (Menzel-Gläser) potažená 0,5% želatinou a dále usušeny při teplotě  $50^\circ\text{C}$  po dobu nejméně 30 minut. Takto uchycené řezy byly proplachovány 5 minut v roztoku sestávajícího se z 1% roztoku hydroxidu sodného a 80% roztoku alkoholu, následně byly proplachovány vždy po dobu 2 minut nejprve v roztoku 70% alkoholu a poté v destilované vodě. Řezy byly dále ponechány po dobu 10 minut v 0,06% roztoku manganistanu draselného a pak promyty v destilované vodě. Následovala inkubace s roztokem Fluoro-Jade B (Histo-Chem Inc.), při jehož použití se ředi

jeho tzv. zásobní roztok (10 mg pevného práškového Fluoro-Jade B rozpuštěného ve 100 ml destilované vody). Pro vlastní barvení se 4ml zásobního roztoku rozředí v 96 ml 0,1% roztoku kyseliny octové. Po 20 minutové inkubaci jsou řezy promývány opakovaně v destilované vodě.

V další fázi se řezy inkubují v 0,01% roztoku bis-benzimidu (33342 Hoechst, Sigma) po dobu 10 minut a dehydratují vzestupnou řadou alkoholů (70%, 80%, 96%). Vyschlé řezy jsou projasňovány v xylenu a následně zamontovány mediem D.P.X. Neutral Mounting Medium (Aldrich), překryty krycím sklem Microscope Cover Glasses (Menzel-Gläser) a usušeny v termostatu.

Semikvantitativní analýza barvení Fluoro-Jade B/Hoechst 33342 byla provedena v identických oblastech definovaných výše pro kvantifikaci NADPH-d pozitivních buněk.

K hodnocení byla použita škála (0) až (+++): (0) Fluoro-Jade B pozitivní buňky nepřítomny, (+) Fluoro-Jade B pozitivní buňky sporadicky přítomny, (++) Fluoro-Jade B pozitivní buňky přítomny ve skupinách, (+++) Fluoro-Jade B pozitivní buňky přítomny difúzně v celé oblasti, celá oblast postižena degenerací.

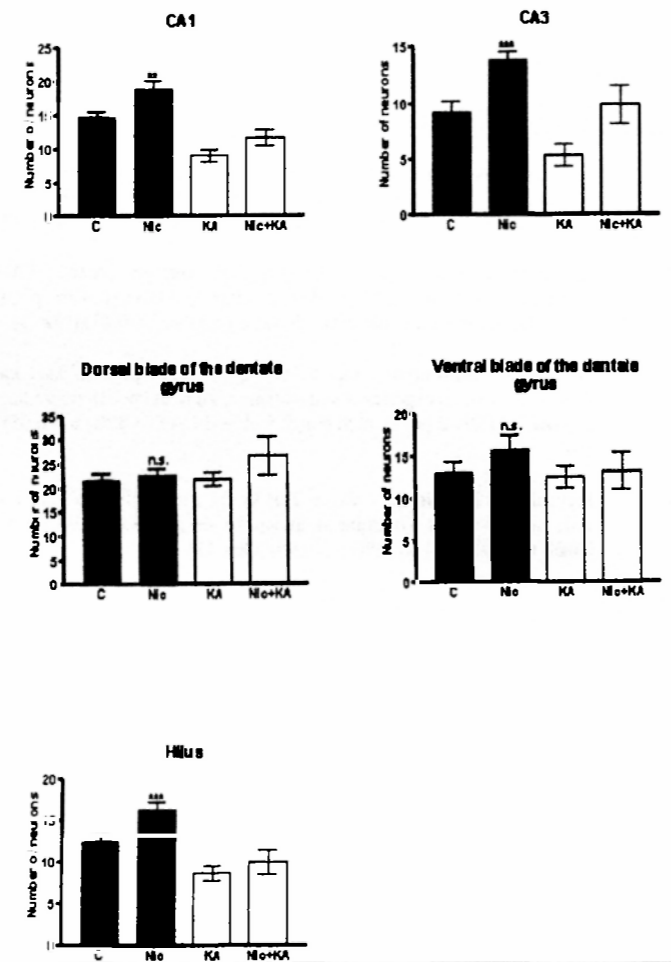
V barvení Hoechst 33342 byly hodnoceny změny jaderného chromatinu a analyzována přítomnost apoptotických tělísek.

## Výsledky

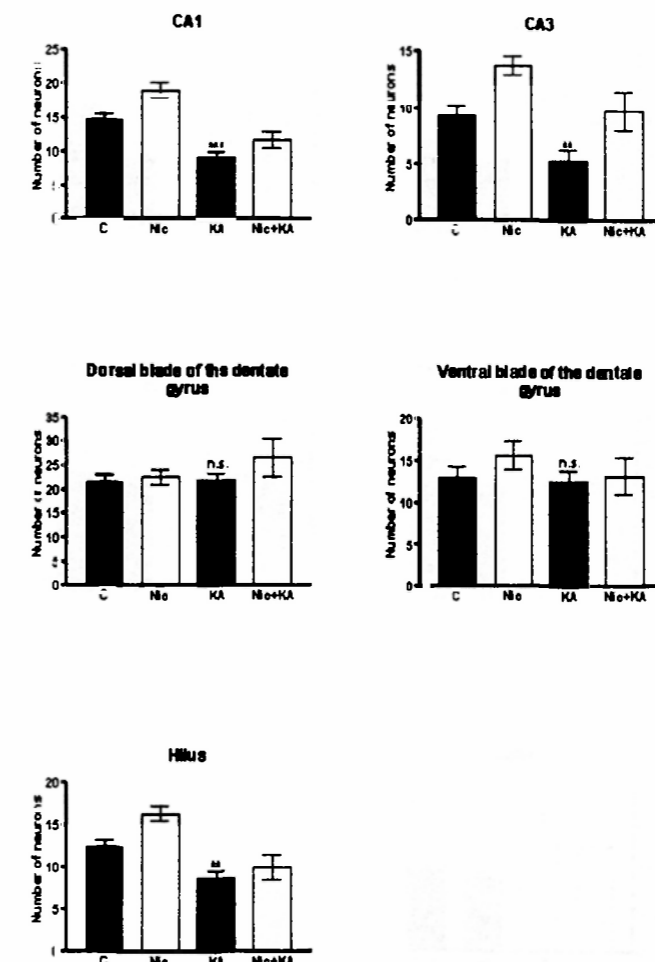
### 18-denní zvířata

#### Kvantifikace NADPH-d pozitivních neuronů

1. Aplikace **nikotinu** v dávce 1mg/kg i.p. **zvýšuje** denzitu NADPH-d pozitivních neuronů v CA1 (o 28%,  $p \leq 0,01$ ) a CA3 (o 48%,  $p \leq 0,001$ ) oblasti hippocampu a v hilu gyrus dentatus (o 31%,  $p \leq 0,001$ ) (Obr. 8)
2. Aplikace **kainátu** v dávce 10mg/kg i.p. **snižuje** denzitu NADPH-d pozitivních neuronů v CA1 (o 39%,  $p \leq 0,001$ ) a CA3 (o 43%,  $p \leq 0,001$ ) oblasti hippocampu a v hilu gyrus dentatus (o 31%,  $p \leq 0,01$ ) (Obr. 9)
3. Premedikace **nikotinem** v dávce 1mg/kg 30 minut před aplikací **kainátu** vede ve srovnání s experimentální skupinou, které byl podán pouze **kainát** ke **zvýšení** NADPH-d pozitivních buněk v oblasti CA3 (o 85%,  $p \leq 0,05$ ) (Obr. 10)
4. Premedikace **nikotinem** v dávce 1mg/kg 30 minut před aplikací **kainátu** vede ve srovnání s kontrolní skupinou ke **snižení** NADPH-d pozitivních buněk v oblasti CA1 (o 21%,  $p \leq 0,05$ ) (Obr. 11)

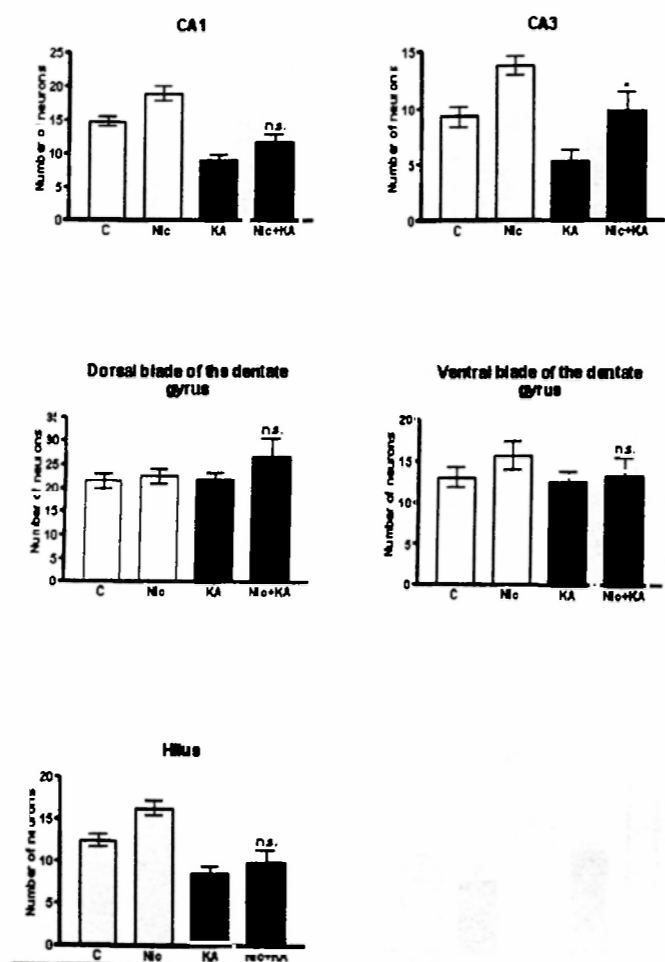


**Obr. 1** 18 denní zvířata: Densita NADPH-diaforáza pozitivních neuronů (M±SEM) v jednotlivých oblastech hippocampu (CA1, CA3 oblasti hippocampu, hilus, ventrální a dorzální list gyrus dentatus) u zvířat kontrolních (C) a zvířat, kterým byl podán i.p. nikotin (Nic) v dávce 1mg/kg. Hladina významnosti:  $p < 0,05$  (\*),  $p < 0,01$  (\*\*),  $p < 0,001$  (\*\*\*)

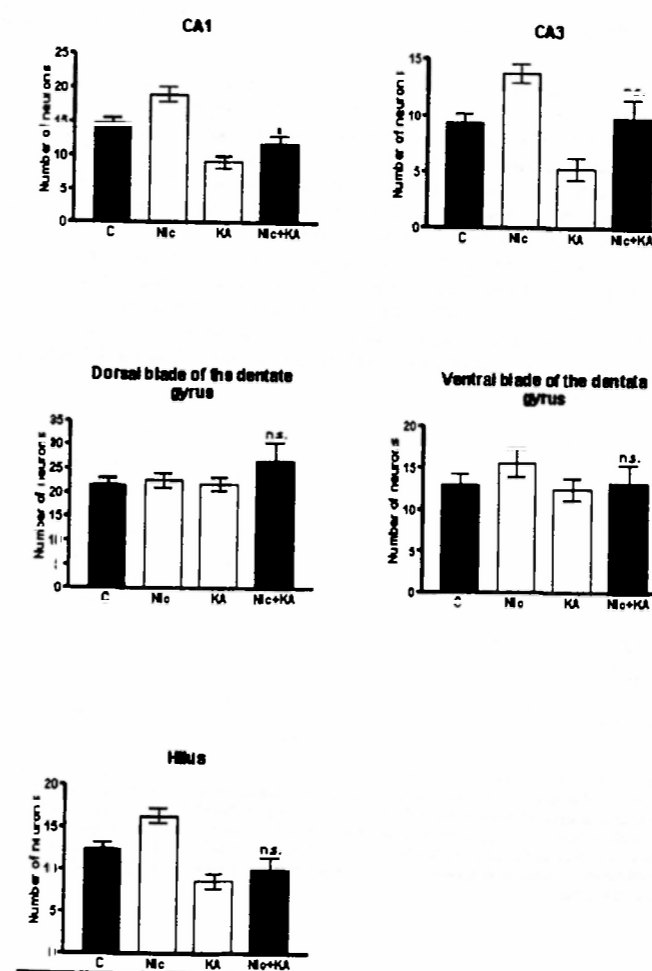


**Obr. 2** 18 denní zvířata: Densita NADPH-diaforáza pozitivních neuronů (M±SEM) v jednotlivých oblastech hippocampu (CA1, CA3 oblasti hippocampu, hilus, ventrální a dorzální list gyrus dentatus) u zvířat kontrolních (C) a zvířat, kterým byl podán i.p. kalnát (KA) v dávce 10mg/kg. Hladina významnosti:  $p < 0,05$  (\*),  $p < 0,01$  (\*\*),  $p < 0,001$  (\*\*\*)





**Obr. 3** 18 denní zvířata: Densita NADPH-d-obarva pozitivních neuronů (M±SEM) v jednotlivých oblastech hippocampu (CA1, CA3 oblasti hippocampu, hilus, ventrální a dorzální list gyrus dentatus) u zvířat, kterým byl podán nikotín v dávce 1mg/kg 30 minut před aplikací kainátu v dávce 10mg/kg (Nic+KA) a zvířat, kterým byl podán pouze kainát (KA) v dávce 10mg/kg. Hladina významnosti:  $p < 0,05$  (\*),  $p < 0,01$  (\*\*),  $p < 0,001$  (\*\*\*)



**Obr. 4** 18 denní zvířata: Densita NADPH-d-obarva pozitivních neuronů (M±SEM) v jednotlivých oblastech hippocampu (CA1, CA3 oblasti hippocampu, hilus, ventrální a dorzální list gyrus dentatus) u zvířat kontrolních (C) a zvířat, kterým byl podán nikotín v dávce 1mg/kg 30 minut před aplikací kainátu v dávce 10mg/kg (Nic+KA). Hladina významnosti:  $p < 0,05$  (\*),  $p < 0,01$  (\*\*),  $p < 0,001$  (\*\*\*)

## 7.1.2. Semikvantitativní analýza řezů barvených kombinací Fluoro-Jade B/Hoechst 33342

1. Aplikace nikotinu v dávce 1mg/kg nevede k degeneraci v žádné ze sledovaných oblastí (Tab. 1). Fluoro-Jade B pozitivní buňky nebyly pozorovány. DNA barvení Hoechst 33342 neodhalilo žádné známky fragmentace jaderného chromatinu.
2. Aplikace kainátu v dávce 1mg/kg vede k degeneraci ve všech sledovaných oblastech. Tato degenerace buněk je mírná, nejvýraznější v CA1 a CA3 oblastech hippocampu a hilus gyrus dentatus (Tab. 1). Jemná fragmentace jaderného chromatinu byla pozorována v barvení Hoechst 33342.
3. Premedikace nikotinem v dávce 1mg/kg 30 minut před podáním kainátu v dávce 10mg/kg vede ke zmírnění degenerativních změn ve sledovaných oblastech. Tento protektivní vliv je zvláště patrný v oblasti hilus gyrus dentatus (Tab. 1). Barvení Hoechst 33342 v této skupině nedetekovalo žádné patologie jaderného chromatinu.
4. Fyziologický roztok podaný v ekvivalentních objemech nevyvolal žádné tkáňové změny (Tab. 1).

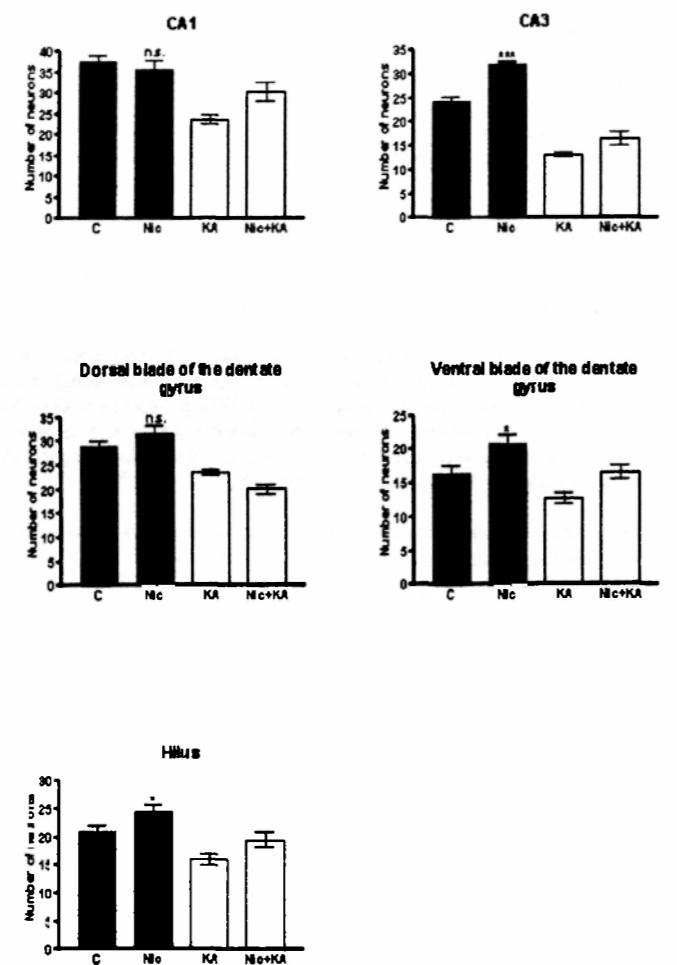
Exp.skupina	C	KA	Nic	Nic+KA
Area				
CA1	0	+	0	0/+
CA3	0	+	0	0/+
Hilus	0	+/++	0	0/+
VB DG	0	0/+	0	0
DB DG	0	0/+	0	0

Tab. 1 Analýza Fluoro-Jade B pozitivních buněk ve sledovaných oblastech C - kontrolní skupina (aplikován fyziologický roztok v ekvivalentních objemech), KA - experimentální skupina, které byl podán kainát i.p. v dávce 10mg/kg, Nic - experimentální skupina, které byl podán nikotin i.p. v dávce 1mg/kg, Nic+KA - experimentální skupina, které byl podán nikotin v dávce 1mg/kg 30 minut před aplikací kainátu v dávce 10mg/kg. K hodnocení byla použita škála (0) až (+++): (0) Fluoro-Jade B pozitivní buňky nepřítomny, (+) Fluoro-Jade B pozitivní buňky sporadicky přítomny, (++) Fluoro-Jade B pozitivní buňky přítomny ve skupinách, (+++) Fluoro-Jade B pozitivní buňky přítomny difúzně v celé oblasti, celá oblast postužena degenerací

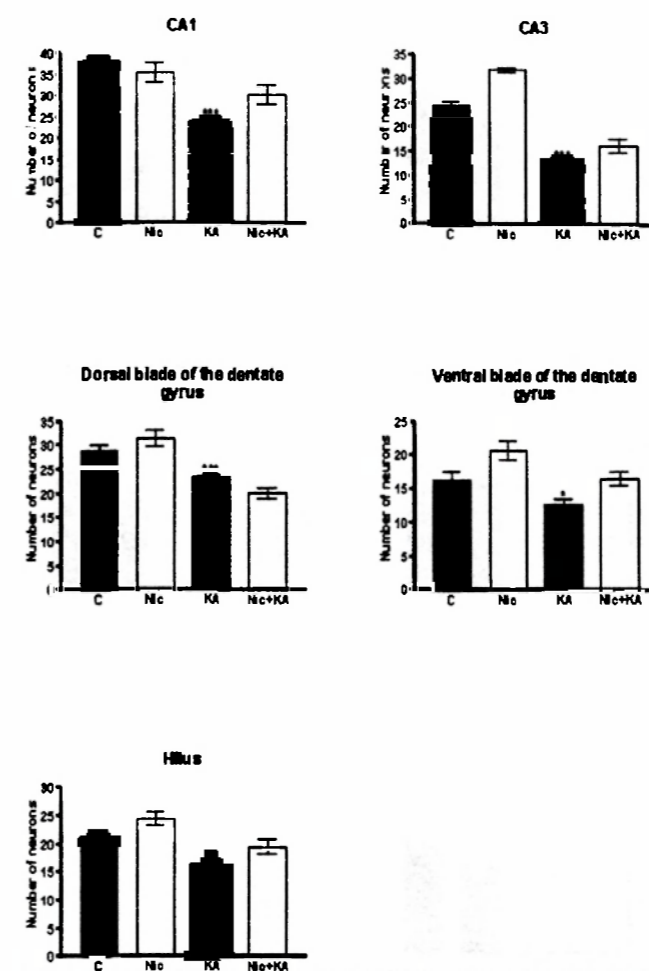
## 25-denní zvířata

## Kvantifikace NADPH-d pozitivních neuronů

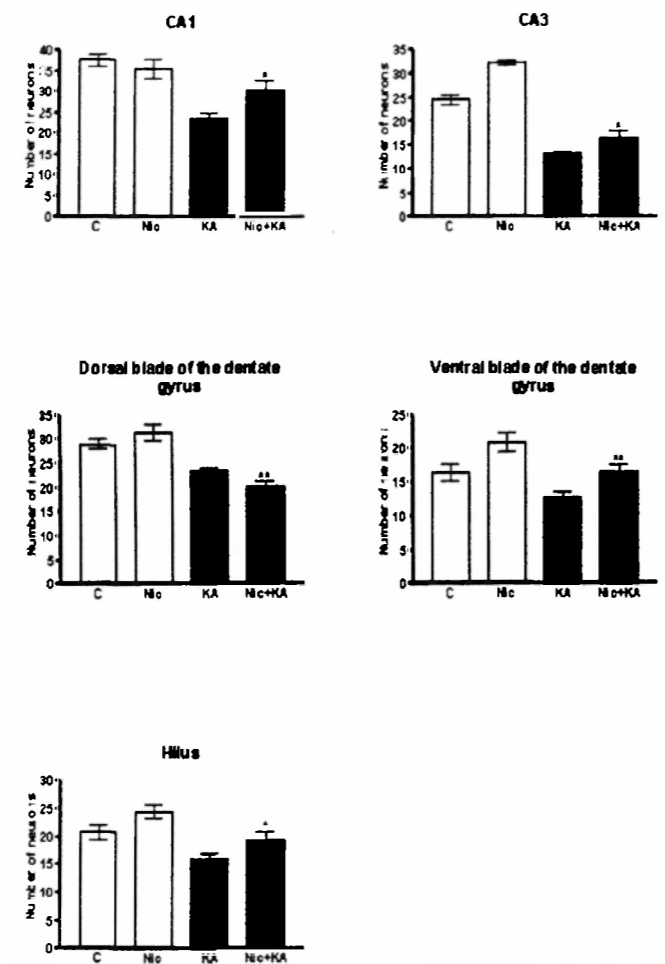
1. Aplikace nikotinu v dávce 1mg/kg i.p. *zvyšuje* denzitu NADPH-d pozitivních neuronů v CA3 oblasti hippocampu (o 31%,  $p < 0,001$ ), v hilu gyrus dentatus (o 18%,  $p \leq 0,05$ ) a ve ventrálním listu gyrus dentatus (o 23%,  $p \leq 0,05$ ) (Obr. 14)
2. Aplikace kainátu v dávce 10mg/kg i.p. *snižuje* denzitu NADPH-d pozitivních neuronů v CA1 (o 37%,  $p \leq 0,001$ ) a CA3 (o 46%,  $p \leq 0,001$ ) oblasti hippocampu a v hilu gyrus dentatus (o 23%,  $p \leq 0,01$ ), v dorzálním (o 19%,  $p \leq 0,001$ ) a ventrálním (o 22%,  $p \leq 0,05$ ) listu gyrus dentatus (Obr. 15)
3. Premedikace nikotinem v dávce 1mg/kg 30 minut před aplikací kainátu vede ve srovnání s experimentální skupinou, které byl podán pouze kainát ke *zvýšení* NADPH-d pozitivních buněk v oblasti CA1 (o 28%,  $p \leq 0,05$ ) a CA3 (o 24%,  $p \leq 0,05$ ) oblasti hippocampu, v hilu gyrus dentatus (o 21%,  $p \leq 0,05$ ), a ve ventrálním listu gyrus dentatus (o 30%,  $p \leq 0,01$ ). V dorzálním listu gyrus dentatus došlo ke *snižení* (o 15%,  $p \leq 0,01$ ) (Obr. 16).
4. Premedikace nikotinem v dávce 1mg/kg 30 minut před aplikací kainátu vede ve srovnání s kontrolní skupinou ke *snižení* NADPH-d pozitivních buněk v oblasti CA1 (o 19%,  $p \leq 0,05$ ) a CA3 hippocampu (o 33%,  $p \leq 0,001$ ) a v dorzálním listu gyrus dentatus (o 31%,  $p \leq 0,001$ ) (Obr. 17)



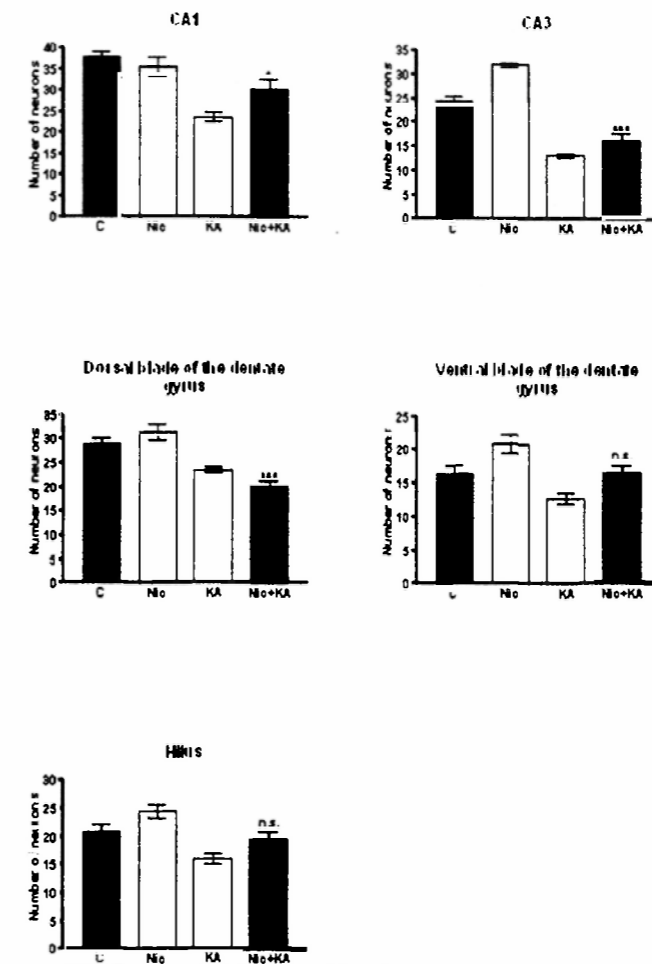
**Obr. 5** 25 denní zvířata: Densita NADPH-diaforáza pozitivních neuronů (M±SEM) v jednotlivých oblastech hippocampu (CA1, CA3 oblasti hippocampu, hilus, ventrální a dorzální list gyrus dentatus) u zvířat **kontrolních** (C) a zvířat, kterým byl podán i.p. **nikotín** (Nic) v dávce 1mg/kg. Hladina významnosti:  $p < 0,05$  (\*),  $p < 0,01$  (\*\*),  $p < 0,001$  (\*\*\*)



**Obr. 6** 25 denní zvířata: Densita NADPH-diaforáza pozitivních neuronů (M±SEM) v jednotlivých oblastech hippocampu (CA1, CA3 oblasti hippocampu, hilus, ventrální a dorzální list gyrus dentatus) u zvířat **kontrolních** (C) a zvířat, kterým byl podán i.p. **kalnát** (KA) v dávce 10mg/kg. Hladina významnosti:  $p < 0,05$  (\*),  $p < 0,01$  (\*\*),  $p < 0,001$  (\*\*\*)



Obr. 7 25 denní zvířata: Densita NADPH-diaforáza pozitivních neuronů (M±SEM) v jednotlivých oblastech hippocampu (CA1, CA3 oblasti hippocampu, hilus, ventrální a dorzální list gyrus dentatus) u zvířat, kterým byl podán nikotin v dávce 1mg/kg 30 minut před aplikací kainátu v dávce 10mg/kg (Nic+KA) a zvířat, kterým byl podán pouze kainát (KA) v dávce 10mg/kg. Hladina významnosti:  $p \leq 0,05$  (\*),  $p < 0,01$  (\*\*),  $p \leq 0,001$  (\*\*\*)



Obr. 8 25 denní zvířata: Densita NADPH-diaforáza pozitivních neuronů (M±SEM) v jednotlivých oblastech hippocampu (CA1, CA3 oblasti hippocampu, hilus, ventrální a dorzální list gyrus dentatus) u zvířat kontrolních (C) a zvířat, kterým byl podán nikotin v dávce 1mg/kg 30 minut před aplikací kainátu v dávce 10mg/kg (Nic+KA). Hladina významnosti:  $p \leq 0,05$  (\*),  $p \leq 0,01$  (\*\*),  $p \leq 0,001$  (\*\*\*)

Semikvantitativní analýza řezů barvených kombinací Fluoro-Jade B/Hoechst 33342

- 1 Aplikace nikotinu v dávce 1mg/kg nevede k degeneraci v žádné ze sledovaných oblastí (Tab. 2). Fluoro-Jade B pozitivní buňky nebyly pozorovány. DNA barvení Hoechst 33342 neodhalilo žádné známky fragmentace jaderného chromatinu.
- 2 Aplikace kainátu v dávce 1mg/kg vede k degeneraci v CA1 a CA3 oblastech hippocampu a v hilu gyrus dentatus (Tab. 2). V barvení Hoechst 33342 byla pozorována jemná fragmentace jaderného chromatinu.
- 3 Premedikace nikotinem v dávce 1mg/kg 30 minut před podáním kainátu v dávce 10mg/kg vede ke zmírnění degenerativních změn v oblastech, které jevíly morfologické změny při podání kainátu samotného. Tento protektivní vliv je patrný tedy v CA1 a CA3 oblasti hippocampu a v hilu gyrus dentatus (Tab. 2). Barvení Hoechst 33342 v této skupině nedetekovalo žádné patologické projevy jaderného chromatinu.
- 4 Fyziologický roztok podaný v ekvivalentních objemech nevyvolal žádné tkáňové změny (Tab. 2).

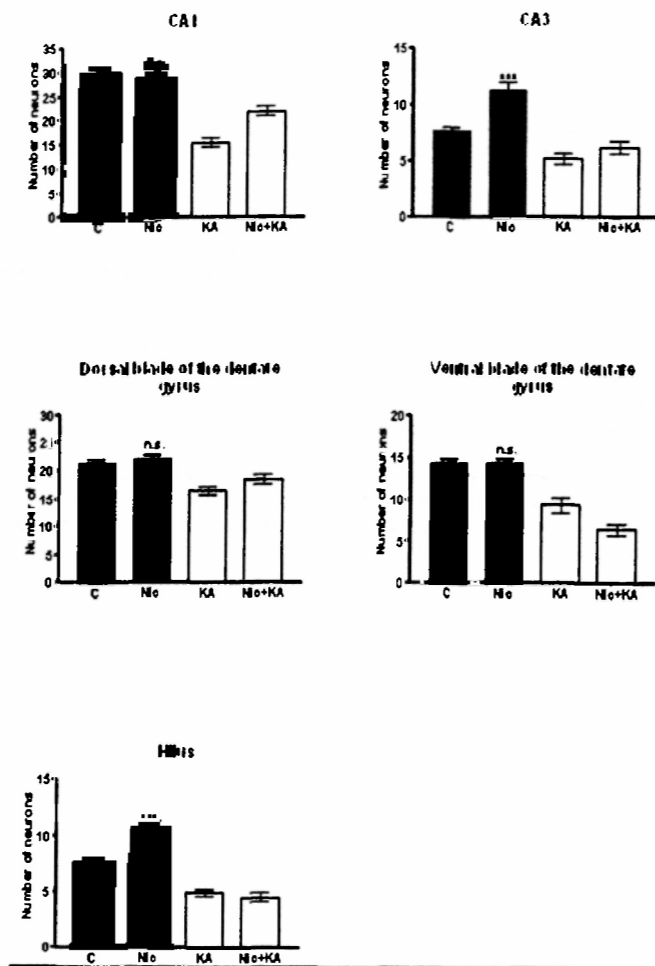
Exp.skupina	C	KA	Nic	Nic+KA
Area				
CA1	0	++	0	0/+
CA3	0	++	0	0/+
Hilus	0	++	0	0/+
VB DG	0	0	0	0
DB DG	0	0	0	0

Tab. 1 Analýza Fluoro-Jade B pozitivních buněk ve sledovaných oblastech: C - kontrolní skupina (aplikován fyziologický roztok v ekvivalentních objemech), KA - experimentální skupina, které byl podán kainát i.p. v dávce 10mg/kg, Nic - experimentální skupina, které byl podán nikotin i.p. v dávce 1mg/kg, Nic+KA - experimentální skupina, které byl podán nikotin v dávce 1mg/kg 30 minut před aplikací kainátu v dávce 10mg/kg. K hodnocení byla použita škála (0) až (+++). (0) Fluoro-Jade B pozitivní buňky nepřítomny, (+) Fluoro-Jade B pozitivní buňky sporadicky přítomny, (++) Fluoro-Jade B pozitivní buňky přítomny ve skupinách, (+++) Fluoro-Jade B pozitivní buňky přítomny difúzně v celé oblasti, celá oblast postižena degenerací.

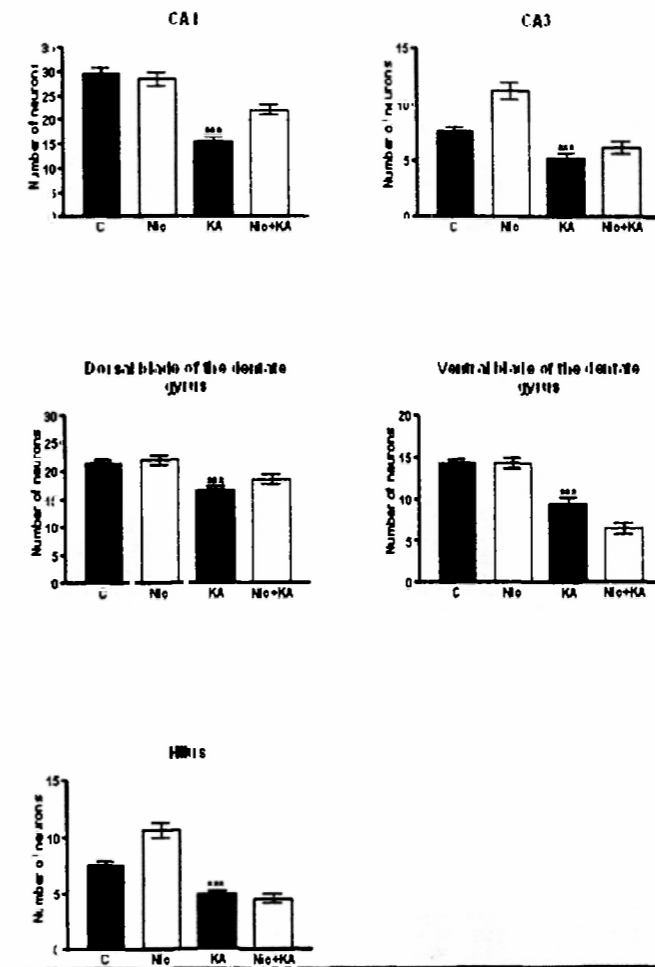
**35-denní zvířata**

Kvantifikace NADPH-d pozitivních neuronů

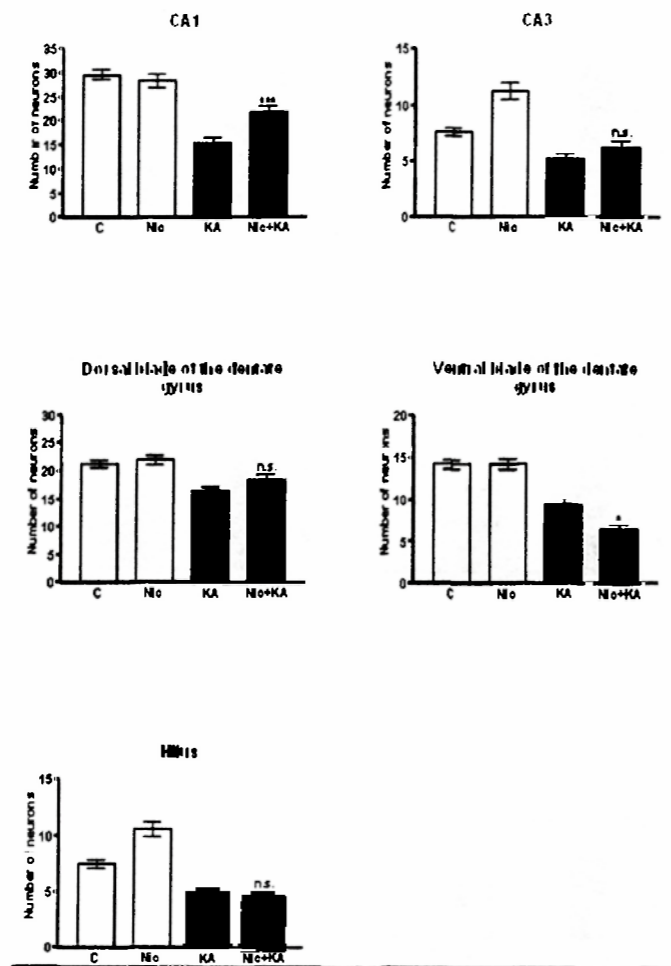
- 1 Aplikace nikotinu v dávce 1mg/kg i.p. **zvýšuje** densitu NADPH-d pozitivních neuronů v CA3 (o 48%,  $p \leq 0,001$ ) oblasti hippocampu a v hilu gyrus dentatus (o 42%,  $p \leq 0,001$ ) (Obr. 20)
- 2 Aplikace kainátu v dávce 10mg/kg i.p. **snižuje** densitu NADPH-d pozitivních neuronů v CA1 (o 47%,  $p \leq 0,001$ ) a CA3 (o 32%,  $p \leq 0,001$ ) oblasti hippocampu a v hilu gyrus dentatus (o 34%,  $p \leq 0,001$ ) v dorzálním (o 22%,  $p \leq 0,001$ ) a ventrálním (o 34%,  $p \leq 0,001$ ) listu gyrus dentatus (Obr. 21)
- 3 Premedikace nikotinem v dávce 1mg/kg 30 minut před aplikací kainátu vede ve srovnání s experimentální skupinou, které byl podán pouze kainát ke **zvýšení** NADPH-d pozitivních buněk v oblasti CA1 (o 41%,  $p \leq 0,001$ ) a ve ventrálním listu ke **snížení** (o 31%,  $p \leq 0,05$ ) (Obr. 22)
- 4 Premedikace nikotinem v dávce 1mg/kg 30 minut před aplikací kainátu vede ve srovnání s kontrolní skupinou ke **snížení** NADPH-d pozitivních buněk v oblasti CA1 (o 26%,  $p \leq 0,001$ ) v hilu gyrus dentatus (o 39%,  $p \leq 0,001$ ) a ve ventrálním listu gyrus dentatus (o 54%,  $p \leq 0,001$ ) (Obr. 23)



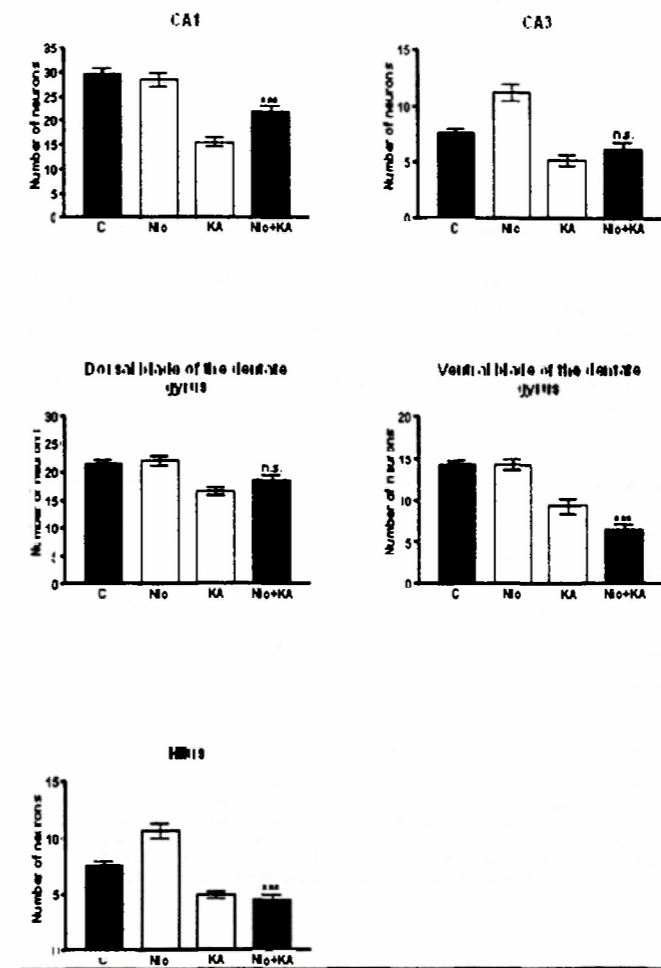
Obr. 9 35 denní zvířata: Densita NADPH-diaforáza pozitivních neuronů (M±SEM) v jednotlivých oblastech hippocampu (CA1, CA3 oblasti hippocampu, hilus, ventrální a dorzální list gyrus dentatus) u zvířat kontrolních (C) a zvířat, kterým byl podán i.p. nikotin (Nic) v dávce 1mg/kg. Hladina významnosti:  $p \leq 0,05$  (\*),  $p \leq 0,01$  (\*\*),  $p \leq 0,001$  (\*\*\*)



Obr. 10 35 denní zvířata: Densita NADPH-diaforáza pozitivních neuronů (M±SEM) v jednotlivých oblastech hippocampu (CA1, CA3 oblasti hippocampu, hilus, ventrální a dorzální list gyrus dentatus) u zvířat kontrolních (C) a zvířat, kterým byl podán i.p. kainát (KA) v dávce 10mg/kg. Hladina významnosti:  $p \leq 0,05$  (\*),  $p \leq 0,01$  (\*\*),  $p \leq 0,001$  (\*\*\*)



Obr. 11 35 denní zvířata: Densita NADPH-diaforáza pozitivních neuronů (M±SEM) v jednotlivých oblastech hippocampu (CA1, CA3 oblasti hippocampu, hilus, ventrální a dorzální list gyrus dentatus) u zvířat, kterým byl podán nikotin v dávce 1mg/kg 30 minut před aplikací kainátu v dávce 10mg/kg (Nic+KA) a zvířat, kterým byl podán pouze kainát (KA) v dávce 10mg/kg. Hladina významnosti:  $p \leq 0,05$  (\*),  $p \leq 0,01$  (\*\*),  $p \leq 0,001$  (\*\*\*)



Obr. 12 35 denní zvířata: Densita NADPH-diaforáza pozitivních neuronů (M±SEM) v jednotlivých oblastech hippocampu (CA1, CA3 oblasti hippocampu, hilus, ventrální a dorzální list gyrus dentatus) u zvířat kontrolních (C) a zvířat, kterým byl podán nikotin v dávce 1mg/kg 30 minut před aplikací kainátu v dávce 10mg/kg (Nic+KA). Hladina významnosti:  $p \leq 0,05$  (\*),  $p \leq 0,01$  (\*\*),  $p \leq 0,001$  (\*\*\*)

#### Semikvantitativní analýza řezů barvených kombinací Fluoro-Jade B/Hoechst 33342

1. Aplikace nikotinu v dávce 1mg/kg nevede k degeneraci v žádné ze sledovaných oblastí (Tab. 3). Fluoro-Jade B pozitivní buňky nebyly pozorovány. DNA barvení Hoechst 33342 neodhalilo žádné známky fragmentace jaderného chromatinu.
2. Aplikace kainátu v dávce 1mg/kg vede k výrazné degeneraci v CA1 a CA3 oblastech hippocampu a v hilu gyrus dentatus (Tab. 3). V barvení Hoechst 33342 byla pozorována jemná fragmentace jaderného chromatinu.
3. Premedikace nikotinem v dávce 1mg/kg 30 minut před podáním kainátu v dávce 10mg/kg vede ke zmírnění degenerativních změn v oblastech, které jevíly morfologické změny při podání kainátu samotného. Tento protektivní vliv je patrný tedy v CA1 a CA3 oblasti hippocampu a v hilu gyrus dentatus (Tab. 3). Barvení Hoechst 33342 v této skupině nedetekovalo žádné patologie jaderného chromatinu.
4. Fyziologický roztok podaný v ekvivalentních objemech nevyvolal žádné tkáňové změny (Tab. 3).

Exp.skupina	C	KA	Nic	Nic+KA
Area				
CA1	0	+++	0	+
CA3	0	++	0	0/+
Hilus	0	++	0	0/+
VB DG	0	0/+	0	0
DB DG	0	0/+	0	0

Tab. 1 Analýza Fluoro-Jade B pozitivních buněk ve sledovaných oblastech. C - kontrolní skupina (aplikován fyziologický roztok v ekvivalentních objemech), KA - experimentální skupina, které byl podán kainát i.p. v dávce 10mg/kg. Nic - experimentální skupina, které byl podán nikotin i.p. v dávce 1mg/kg. Nic+KA - experimentální skupina, které byl podán nikotin v dávce 1mg/kg 30 minut před aplikací kainátu v dávce 10mg/kg. K hodnocení byla použita škála (0) až (+++): (0) Fluoro-Jade B pozitivní buňky nepřítomny, (+) Fluoro-Jade B pozitivní buňky sporadicky přítomny, (++) Fluoro-Jade B pozitivní buňky přítomny ve skupinách, (+++) Fluoro-Jade B pozitivní buňky přítomny difúzně v celé oblasti, celá oblast postižena degenerací

#### Diskuze

Cílem první části naší studie bylo zhodnotit vliv kainátu resp. nikotinu na nitrergní neuronální populaci. Tato populace neuronálních buněk je charakterizována schopností produkovat oxid dusnatý a to díky své specifické enzymatické výbavě - nitric oxid syntáze. K průkazu této buněčné populace byla použita histochemická technika detekující aktivitu jiného enzymu - NADPH-diaforázy, která je téměř ve 100% kolokalizována se zmíněnou nitric oxid syntázou (Wang a spol., 2001). Změna aktivity tohoto enzymu pak umožňuje hodnotit dynamiku této buněčné populace, a tím de facto změny produkovaného oxidu dusnatého ve sledovaných oblastech.

Aplikace nikotinu vyvolala ve všech věkových skupinách buď zvýšení denzity NADPH-d pozitivních neuronů, nebo na denzitu těchto buněk neměla vliv. Nikdy však aplikace nikotinu nevedla u žádné sledované věkové skupiny ke snížení denzity NADPH-d pozitivních neuronů. Shodně ve všech věkových skupinách reagovaly na aplikaci nikotinu zvýšením denzity NADPH-d pozitivních neuronů oblast CA3 hippocampu a oblast hilu gyrus dentatus. Tyto oblasti jsou obecně popisovány jako velmi citlivé k řadě podnětů a je tedy pravděpodobné, že i nikotin zmíněné struktury modifikuje (Sperk a spol., 1983, Sperk, 1994). Naopak na aplikaci nikotinu nereagovaly struktury listů gyrus dentatus (s výjimkou ventrálního listu gyrus dentatus u 25-denních mláďat). Tento nálezkoreluje s nálezy jiných autorů, které listy gyrus dentatus popisují jako oblast mimořádně rezistentní k mnoha noxiám (např. i dále diskutované kyselině kainové). Sperk a spolupracovníci spekulují, že tato rezistence obou listů gyrus dentatus je dána jejich specifickou neurochemickou výbavou - přítomností neuropeptidu Y (Sperk a spol., 1983, Sperk, 1994). Mechanismus rezistence listů gyrus dentatus však bude jistě mnohem komplexnější a v budoucnosti pravděpodobně doplněn.

Zásadní otázkou je, jakým mechanismem nikotin vyvolává změny denzity populace NADPH-d pozitivních neuronů. Jak již bylo naznačeno v úvodu, je exprese NOS většinou kalcium dependentní proces (Wang a spol., 2001). Je známo, že aktivace nikotinových acetylcholinových receptorů je spřažena se vstupem kalcia intracelulárně a tato zvýšená koncentrace kalcia ve vnitrobuněčném kompartmentu by mohla být jedním z vysvětlení zvýšené denzity NADPH-d pozitivních buněk po aplikaci nikotinu. NADPH-d pozitivní buňky byly opakovaně popsány jako elementy relativně rezistentní vůči mnoha (především excitotoxickým) inzultům (Behrens a spol., 1996, Kluchova a Marsala, 1999). Mechanismus této rezistence nebyl sice doposud přesně definován a je velmi pravděpodobné, že se bude jednat o celý soubor metabolických zvláštností této populace buněk. Jisté je, že nitrergní buňky in vitro vystavené excitotoxickým inzultům v porovnání s non-NADPH-d pozitivními buňkami jeví větší schopnost přežít. Bylo by tedy možné předpokládat, že zvýšení denzity NADPH-d pozitivních buněk ve sledovaných oblastech hippocampální formace jako reakce na aplikaci nikotinu by mohlo být jednou z hledaných možností neuroprotektivních vlastností nikotinu, tedy, že by tyto vlastnosti byly zprostředkovány oxidem dusnatým.

Znamená ale zvýšení denzity NADPH-d pozitivních buněk skutečně zvýšenou produkci oxidu dusnatého? Je třeba přiznat, že odpověď na tuto otázku je nesnadná. Kritické diskuzi je třeba podrobit především jednotlivé metodiky měření oxidu dusnatého a je třeba přiznat, že vždy (vyjma té měřicí koncentraci NO přímo ve tkáni) se jedná o metody nepřímé, ať již vycházejí z měření nárůstu nebo úbytku citrulinu (jako koproduktu nitric oxide syntázové reakce), nebo ze stanovení aktivity NADPH-diaforázy s předpokladem výše zmíněné kolokalizace s nitric oxide syntázou, tedy metodikou, která byla užita v této práci. Zvýšení denzity NADPH-d pozitivních neuronů může být tedy způsobeno zvýšením aktivity NADPH-diaforázy/nitric oxide syntázy. Interpretovat však nárůst NADPH-d pozitivní populace zvýšenou produkcí oxidu dusnatého a naopak úbytek snížením jeho produkce by



bylo sice snadné, ale nesprávné. Z tohoto důvodu jsme se rozhodli použít v této studii i kombinaci barvení Fluoro-Jade B/Hoechst 33342.

Barvení Fluoro-Jade B umožňuje selektivně a senzitivně detekovat buňky, které právě degenerují, a sledovat je ve fluorescenčním optickém mikroskopu. Důvod, proč se zanikající neurocyty barví Fluoro-Jade B, není znám. Spekuluje se, že degenerující buňky produkují protein (v úvahu přicházela celá řada proteinů – např. putrescin a spermidin, potvrzen nebyl žádný), na který se Fluoro-Jade B váže. Je pravděpodobné, že se bude nacházet v cytoplazmě, protože jádra se touto metodikou nebarví (Schmued a spol., 1997, Ballok a spol., 2003, Frank a spol., 2003, Fernandes a spol., 2004, Schmued a spol., 2005). Jádro a jeho chromatin se naopak barví za použití bis-benzimidu (Hoechst 33342), další z metodik, která byla v těchto experimentech použita, čímž je možné na jednom histologickém řezu usuzovat nejen na degeneraci neuronu, ale i na její druh, tedy apoptózu nebo nekrózu. V žádné věkové skupině nevedlo podání nikotinu k prokazatelné degeneraci, lze se tedy přiklonit k tvrzení, že aplikace nikotinu skutečně ovlivňuje pouze expresi NOS/NADPH-diaforázy.

V další části tohoto experimentu nás zajímalo, jak ovlivní nitřní populaci podání kyseliny kainové. Aplikace kainátu je obecně uznávaným chemickým modelem lidské temporální epilepsie (parciálních záchvatů s komplexní symptomatologií). Kainát vyvolává v limbických strukturách masivní degenerativní proces, způsobený pravděpodobně funkčním přetížením nervových buněk. Kainát po překročení HEB vyvolává masivní depolarizaci neuronů, která, je-li dostatečně dlouhá, může vést až k zániku neuronu a tedy i strukturálním změnám jednotlivých oblastí hippocampální formace (Ben-Ari a spol., 1981, Ben-Ari a spol., 1985). U nejmladší věkové skupiny vedla aplikace kainátu k signifikantnímu úbytku NADPH-d pozitivních buněk v oblastech CA1 a CA3 hippocampu a v oblasti hilus gyrus dentatus. U 25- a 35-denních zvířat se denzita nitřních buněk ve všech sledovaných oblastech snížila. V barvení Fluoro-Jade B/Hoechst je patrná rozsáhlá degenerace hippocampální formace s podstatnějším vyjádřením u starších věkových skupin, a to v oblastech CA1 a CA3 hippocampu a v hilus gyrus dentatus. Tyto nálezy jsou v souladu s pracemi jiných autorů, kteří rovněž dokumentovali jednoznačnou vulnerabilitu oblastí CA1 a CA3 hippocampu a hilus gyrus dentatus a rovněž konstatovali, že nezralá nervová tkáň 18-denních zvířat je vůči kainátu rezistentnější než tkáň starších zvířat (Sperk, 1994). Jedním z mechanismů, kterými kainát vyvolává zánik buněk, je formace volných kyslíkových a volných dusíkových radikálů (Wang a spol., 2005). Bylo by tedy logické očekávat, že i aplikace kainátu (analogicky nikotinu) povede ke zvýšení denzity NADPH-d pozitivních buněk. Je však třeba uvážit, že kainát v dávce, která byla užita v této studii (10mg/kg) vyvolává masivní aktivaci zániku neuronálních elementů a je pravděpodobné, že tohoto působení nejsou ušetřeny ani buňky NADPH-d pozitivní. Z našich předchozích experimentů vyplývá, že kainát je schopen vyvolat zánik nervových buněk i při opakovaném podání relativně nízkých (subkonvulzivních) dávek (Riljak a spol., 2005). Vzhledem k tomu, že zvířata byla perfundována po dvou dnech od aplikace kainátu, byl tento čas dostatečný k plnému vyjádření histopatologických změn, kdy nadměrná tvorba volných kyslíkových a dusíkových radikálů nevrátě narušila strukturální integritu jednotlivých oblastí hippocampu. Hypoteticky nelze vyloučit ani variantu, že podání kainátu skutečně vede krátkodobě ke zvýšení denzity NADPH-d pozitivních buněk, jako výrazu zvýšené produkce NO ve tkáni, avšak toto zvýšení může nastat dříve, než proběhla perfúze v našem experimentu. Po 48 hodinách od podání kainátu již mohou neuronální elementy podléhat buněčnému zániku. V budoucnosti plánujeme potvrdit či vyloučit i tuto variantu modifikovaným experimentem.

Neméně zajímavé výsledky přinesla i poslední část této studie, která sledovala dynamiku NADPH-d pozitivní neuronální populace po podání kombinace obou diskutovaných nox, tedy nikotinu a kainátu. Nikotin byl podán vždy 30 minut před aplikací kainátu, s předpokladem možného neuroprotektivního působení. Semikvantitativní

vyhodnocení barvení Fluoro-Jade B/Hoechst přineslo důkaz, že premedikace nikotinem skutečně vede k úbytku Fluoro-Jade B pozitivních buněk (jako míry degenerace) ve všech oblastech a věkových skupinách, kde podání kainátu vyvolal patologické změny. Barvení Hoechst prokázalo přítomnost apoptotických tělísek, typických pro programovaný buněčný zánik (Langmeier, 1995). Na možné neuroprotektivní vlastnosti nikotinu v souvislosti s kainátem poukázali již některé dřívější práce, které popsali jednak úbytek motorických příznaků typicky asociovaných s aplikací kainátu u zvířat, které byly premedikovány nikotinem (Borlongan a spol., 1995), a jednak zmírnění degenerativních změn vyvolaných kainátem u zvířat, která byla dlouhodobě vystavena cigaretovému kouři (Kim a spol., 2000). Diskutuje se o řadě mechanismů, kterými by nikotin mohl bránit rozvoji těchto změn.

Je to jednak stabilizace vápníkové homeostázy zvýšením exprese kalcium pufrujících proteinů (Prendergast, 2001, Bailador a Wonnacott, 2004), stimulace produkce a uvolnění některých neurotrofických faktorů (Belluardo a spol., 2000), inhibice radikálového stresu (Newman a spol., 2002) a v neposlední řadě ovlivnění exprese antiapoptotických faktorů (respektive vyvolání inhibice faktorů proapoptotických), jedná se především o upregulaci antiapoptotického markeru Bcl-2 a dále o inhibici kaspázové kaskády (Garrido a spol., 2001, Hejmadi a spol., 2003). Bylo by jistě zajímavé objasnit také vliv dlouhodobé aplikace nikotinu s možnou frakcionací dávek s tím, že dávka kumulativní by zůstala stejná. Toto snížení (za předpokladu, že by mělo i nadále neuroprotektivní efekt) by umožnilo eliminovat vedlejší účinky nikotinu. To připomínáme z toho důvodu, že dávka 1mg/kg hmotnosti nikotinu je relativně vysoká a u zvířat vede k rozvoji celé řady motorických příznaků díky nadměrné aktivaci nikotinových receptorů. Tyto vedlejší jevy vedly nakonec k vyřazení celé experimentální skupiny 12-denních zvířat, neboť v této skupině byla po aplikaci 1mg/kg nikotinu 100% letalita. Diskutované chronické podávání nikotinu ve zlomkových množstvích by tedy mohlo být efektivním řešením.

Analýza změn nitřní neuronální populace po podání obou látek přinesla zásadně rozdílné výsledky v jednotlivých věkových skupinách s velmi nestejnou odpovědí sledovaných struktur během vývoje. Shrňme stručně výsledky:

U nejstarších zvířat (35-denních) byly patrné signifikantní rozdíly v oblasti CA1 hippocampu, kde byl pozorován úbytek NADPH-d pozitivních buněk ve srovnání s kontrolními zvířaty, ale nárůst denzity těchto buněk ve srovnání se skupinou, které byl podán pouze kainát. Úbytek denzity nitřních neuronů byl pak pozorován v oblasti ventrálního listu gyrus dentatus a to jak ve srovnání se skupinou kontrolní, tak ve srovnání se skupinou, které byl podán pouze kainát, a konečně úbytek denzity NADPH-d pozitivních buněk byl pozorován v oblasti hilus gyrus dentatus ve srovnání s kontrolními zvířaty.

U 25-denních zvířat byl pozorován úbytek denzity v oblasti CA1 hippocampu ve srovnání s kontrolní skupinou, ale nárůst ve srovnání se skupinou, které byl podán pouze kainát, analogicky reagovala i oblast CA3 hippocampu. Úbytek denzity byl patrný při porovnání počtu buněk v oblasti dorzálního listu gyrus dentatus a to jak s kontrolní skupinou, tak skupinou, které byl podán pouze kainát. V oblasti ventrálního listu gyrus dentatus a v oblasti hilus gyrus dentatus bylo patrné zvýšení denzity NADPH-d pozitivních buněk ve srovnání se skupinou, které byl podán pouze kainát.

U 18-denních zvířat reagovala úbytkem denzity oblast CA1 hippocampu ve srovnání s kontrolní skupinou, nárůstem denzity oblast CA3 hippocampu ve srovnání se skupinou, které byl aplikován pouze kainát.

Je zřejmé, že interpretace těchto nálezů není ani v kontextu analýzy nervové degenerace snadná. Jednou z variant, která se nabízela při postulaci pracovních hypotéz, bylo vzájemné protichůdné působení nikotinu a kainátu na NADPH-d pozitivní populaci (Jandová a spol., 2006, Riljak a spol., 2006). Předpokládali jsme, že kainátem vyvolané snížení počtu nitřních neuronů bude modifikované premedikací nikotinem, který při samostatném podání

denzitu NADPH-d pozitivních neuronů zvyšuje. Tento předpoklad byl našimi nálezy skutečně potvrzen, nicméně odpověď jednotlivých oblastí hippocampální formace byla velmi variabilní. Při zamyšlení nad těmito nálezy je nutno přihlídnout ke skutečnosti, že všechny zmiňované věkové kategorie použité v experimentu představují nezralé jedince, u kterých v rámci stejné věkové skupiny jsou na různém stupni vývoje i jednotlivé struktury hippocampu. Tento fakt by mohl vysvětlit nestejnou odpověď nervové tkáně na jeden a týž inzult mezi jednotlivými věkovými skupinami, ale i rozdílnou reakci jednotlivých struktur v samotném hippocampu.

### Souhrn

Systémová aplikace kyseliny kainové je obecně užívaným modelem lidské temporální epilepsie (parciálních záchvatů s komplexní symptomatologií) a vede k rozsáhlému poškození hippocampální formace. Z publikovaných experimentálních výsledků vyplývá možný protektivní vliv nikotinu na změny vyvolané kainátem. Za použití histochemické metody (NADPH-diaforáza barvení) byl zjišťován vliv kainátu, nikotinu, resp. kombinace obou, na struktury hippocampu potkanů v období rané ontogeneze (18, 25 a 35 denní zvířata). NADPH-diaforáza (NADPH-d) je enzym kolokalizovaný s nitric oxid syntázou (NOS), která katalyzuje syntézu oxidu dusnatého (NO). K hodnocení buněčné degenerace byla použita kombinace barvení Fluoro-Jade B/Hoechst 33342.

Výsledky ukázaly, že aplikace nikotinu zvyšuje denzitu NADPH-d pozitivních buněk u 18-denních zvířat v oblastech CA1 a CA3 hippocampu a v hilus gyrus dentatus; u 25-denních zvířat v oblastech CA3 hippocampu, hilus gyrus dentatus a ve ventrálním listu gyrus dentatus; u 35-denních zvířat v oblastech CA3 hippocampu a v hilus gyrus dentatus.

Aplikace kyseliny kainové vedla ke snížení denzity NADPH-d pozitivních buněk v oblastech CA1 a CA3 hippocampu a v hilus gyrus dentatus u 18-denních zvířat; u 25-denních zvířat ve všech sledovaných oblastech a u 35-denních zvířat rovněž ve všech sledovaných oblastech.

Podání nikotinu i kainátu, v porovnání s kontrolními zvířaty přineslo následující výsledky: u 35-denních byl patrný úbytek denzity NADPH-d pozitivních buněk v oblasti CA1 hippocampu, ve ventrálním listu gyrus dentatus a v oblasti hilus gyrus dentatus; u 25-denních zvířat bylo pozorováno snížení denzity NADPH-d pozitivních neuronů v oblastech CA1 a CA3 hippocampu a v dorzálním listu gyrus dentatus; 18-denní zvířata reagovala snížením denzity NADPH-d pozitivních neuronů v oblasti CA1 hippocampu.

Podání nikotinu a kainátu, v porovnání se skupinou zvířat, které byl podán pouze kainát přineslo následující výsledky: u 35-denních zvířat zvýšení denzity NADPH-d pozitivních neuronů v oblastech CA1 hippocampu, úbytek denzity v oblasti ventrálního listu gyrus dentatus; u 25-denních zvířat byl patrný nárůst denzity NADPH-d pozitivních buněk v oblastech CA1 a CA3 hippocampu, v oblasti ventrálního listu gyrus dentatus a v hilus gyrus dentatus, úbytek byl pozorován v dorzálním listu gyrus dentatus; 18-denní zvířata reagovala nárůstem denzity NADPH-d pozitivních neuronů v oblasti CA3 hippocampu.

Z dosažených výsledků vyplývá:

1. aplikace kainátu snižuje nebo nemění denzitu NADPH-d pozitivních neuronů v hippocampu (hypotéza I nebyla zcela potvrzena)
2. aplikace nikotinu zvyšuje nebo nemění denzitu NADPH-d pozitivních neuronů v hippocampu (hypotéza II nebyla zcela potvrzena)
3. aplikace nikotinu před podáním kainátu zvyšuje, snižuje nebo nemění denzitu NADPH-d pozitivních neuronů v hippocampu (hypotéza III nebyla potvrzena)

4. aplikace nikotinu před podáním kainátu zmírňuje degenerativní změny vyvolané kainátem (hypotéza IV byla potvrzena)
- Naše experimenty prokázaly, že jak nikotin, tak kainát výrazně ovlivňují nitroergní neuronální populaci, a že tento vliv je regionálně a věkově specifický. Nikotin navíc zmírňuje patologické změny v hippocampu vyvolané podáním kainátu.

## Literatura

1. Abreu Villaça Y, Seidler FJ, Tate CHA, Slotkin TA. Nicotine is a neurotoxin in the adolescent brain: critical periods, patterns of exposure, regional selectivity, and dose thresholds for macromolecular alterations. *Brain Res* 979, 2003, s. 114-128.
2. Atoji Y, Mizutani K, Yamamoto Y, Suzuki Y. Innervation of the pigeon oviduct: correlation of NADPH diaphorase with acetylcholinesterase, tyrosine hydroxylase, and neuropeptides. *Auton Neurosci* 84, 2000, s. 1-7.
3. Bailador FD, Wonnacott S. Nicotinic acetylcholine receptors and the regulation of neuronal signaling. *Trends in Pharmacological Sciences* 25, 2004, s. 317-324.
4. Ballok DA, Millward JM, Sakic B. Neurodegeneration in autoimmune MRL-lpr mice as revealed by Fluoro-Jade B staining. *Brain Res* 964, 2003, s. 200-210.
5. Bartus RT. On neurodegenerative diseases, models, and treatment strategies: lessons learned and lessons forgotten a generation following the cholinergic hypothesis. *Exp Neurol*, 2000, s. 495-529.
6. Behrens MI, Koh JY, Muller MC, Choi DW. NADPH diaphorase-containing striatal or cortical neurons are resistant to apoptosis. *Neurobiol Dis* 3, 1996, s. 72-75.
7. Ben-Ari Y, Tremblay E, Ottersen OP, Meldrum BS. The role of epileptic activity in hippocampal and "remote" cerebral lesions induced by kainic acid. *Brain Res*, 191, 1980b, s. 79-97.
8. Ben-Ari Y, Tremblay E, Riche D, Ghilini G, Naquet R. Electrographic, clinical and pathological alterations following systemic administration of kainic acid, bicuculline and pentetrazole: metabolic mapping using the deoxyglucose method with special reference to the pathology of epilepsy. *Neuroscience* 6, 1981, s. 1361-1391.
9. Ben-Ari Y. Limbic seizure and brain damage produced by kainic acid: mechanism and relevance to human temporal lobe epilepsy. *Neuroscience* 14, 1985, s. 375-403.
10. Belluardo N, Mudo G, Blum M, Amato G, Fuxe K. Neurotrophic effects of central nicotinic receptor activation. *J Neural Transm Suppl* 60, 2000, s. 227-245.
11. Benowitz NL. Clinical pharmacology of nicotine. *Annu. Rev. Med.* 37, 1986, s. 21-32.
12. Blennow G, Brierley JB, Meldrum BS, Siesjö BK. Epileptic brain damage. The role of systemic factors that modify cerebral energy metabolism. *Brain* 101, 1978, s. 687-700.
13. Blomgren K, Hagberg H. Free radicals, mitochondria, and hypoxia - ischemia in the developing brain. *Free Radic Biol Med* 40, 2006, s. 388-397.
14. Bohme GA, Bon C, Lemaire M, Reibaud m, Piot O, Stutzmann JM, Doble A, Blanchard JC. Altered synaptic plasticity and memory formation in nitric oxide synthase inhibitor-treated rats. *Proc Natl Acad Sci USA* 90, 1993, s. 9191-9194.
15. Bohme GA, Bon C, Stutzmann JM, Doble A, Blanchard JC. Possible involvement of nitric oxide in long-term potentiation. *Eur J Pharmacol* 199, 1991, s. 379-381.
16. Borlongan CV, Shytle RD, Ross SD, Shimizu T, Freeman TB, Cahill DW, Sanberg PR. (-)-Nicotine protects against systemic kainic acid-induced excitotoxic effects. *Exp Neurol* 156, 1995, s. 261-265.
17. Burney S, Tamir S, Gal A, Tannenbaum SROV. A mechanistic analysis of nitric oxide-induced cellular toxicity. *Nitric oxide* 1, 1997, s. 130-144.
18. Carrasco C, Vincens P, Redolat R. Neuroprotective effects of behavioural training and nicotine on age-related deficits in spatial learning. *Behav Pharmacol* 17, 2006, s. 441-452.
19. Clark RS, Kochanek PM, Schwarz MA, Schiding JK, Turner DS, Chen M, Carlos TM, Watkins SC. Inducible nitric oxide synthase expression in cerebrovascular smooth muscle and neutrophils after traumatic brain injury in immature rats. *Pediatr Res* 39, 1996, s. 784-790.
20. Dawson TM, Snyder SH. Gases as biological Messenger: Nitric oxide and karbon monoxide in the brain. *J Neurosci* 14, 1994, s. 5147-5159.
21. Dawson VL, Dawson TM, London ED, Bredt DS, Snyder SH. Nitric oxide mediates glutamate neurotoxicity in primary cortical cultures. *Proc Natl acad Sci USA* 88, 1991, s. 6368-6371.
22. Dawson VL, Dawson TM. Nitric oxide neurotoxicity. *J Chem Neuroanat* 10, 1996, s. 179-190.
23. Decker MW, Brioni JD, Bannon AW, Arneric SP. Diversity of neuronal nicotinic acetylcholine receptors: lessons from behavior and implications for CNS therapeutics. *Life Sci* 56, 1995, s. 545-570.
24. Endoh M, Maiese K, Wagner J. Expression of the inducible form of nitric oxide synthase by reactive astrocytes after transient global ischemia. *Brain Res* 651, 1994, s. 92-100.
25. Fernandes AM, Maurer-Morelli CV, Campos CB, Mello ML, Castilho RF, Langone F. Fluoro-Jade, but not Fluoro-Jade B, stains non-degenerating cells in brain and retina of embryonic and neonatal rats. *Brain Res* 1029, 2004, s. 24-33.
26. Frank TC, Nulney MC, Sons HD, Ramon R, Abbott LC. Fluoro-Jade identification of cerebellar granule cell and Purkinje cell death in the alpha1A calcium ion channel mutant mouse, leaner. *Neuroscience* 118, 2003, s. 667-680.
27. Garrido R. Nicotine protects against arachidonic-acid-induced caspase activation, cytochrome c release and apoptosis of cultured spinal cord neurons. *J Neurochem* 76, 2001, s. 1395-1403.
28. Garthwaite J. Glutamate, nitric oxide and cell-cell signaling in the nervous system. *Trends Neurosci* 14, 1991, s. 60-67.
29. Grady S, Marks MJ, Wonnacott S, Collins AC. Characterization of nicotinic receptor-mediated [3H]dopamine release from synaptosomes prepared from mouse striatum. *J Neurochem* 59, 1992, s. 848-856.
30. Guevara-Guzman R, Epton PC, Kendrick KM. Modulation of in vivo striatal transmitter release by nitric oxide and cyclic GMP. *J Neurochem* 62, 1994, s. 807-810.
31. Hejmadi MV, Dajas-Bailador F, Bams SM, Jones B, Wonnacott S. Neuroprotection by nicotine against hypoxia-induced apoptosis in cortical cultures involves activation of multiple nicotinic acetylcholine receptor subtypes. *Mol Cell Neurosci* 24, 2003, s. 779-786.
32. Iadecola C. Bright and dark Aires of nitric oxide in ischemic brain injury. *Trends Neuro Sci* 20, 1997, s. 132-139.
33. Jandová K, Riljak V, Pokorný J, Langmeier M. Kainic acid and nitric neurons in immature hippocampus. *Prague Med Rep* 107, 2006, s. 409-420.
34. Jinno S, Kinukawa N, Kosaka T. Morphometric multivariate analysis of GABAergic neurons containing calretinin and neuronal nitric oxide synthase in the mouse hippocampus. *Brain Res* 900, 2001, s. 195-204.
35. Kihara T, Shimohama S, Sawada H, Kimura J, Kume T, Kochiyama H, Maeda T, Akaike A. Nicotinic receptor stimulation protects neurons against  $\beta$ -amyloid toxicity. *Ann Neurol* 42, 1997, s. 159-163.
36. Kim HCH, Jho WK, Kim WK, Bing G, Kwon MS, Shin EJ, Suh JH, Lee YG, Lee DW. Prolonged exposure to cigarette smoke blocks the neurotoxicity induced by kainic acid in rats. *Life Sci* 66, 2000, s. 317-326.
37. Kleinrok Z, Czuczwar SJ, Turski L, Zarkowski A. Effect of intracerebroventricular injection of kainic acid on electrically and chemically induced convulsions in mice. *Pol J Pharmac* 32, 1980, s. 265-269.
38. Kluchova D, Marsala J. Selective sparing of NADPH-d positive spinal cord neurons affected by ischemia. *Gen Physiol Biophys* 1, 1999, s. 78-80.
39. Köhler C, Schwarcz R. Comparison of ibotenate and kainate neurotoxicity in rat brain: a histological study. *Neuroscience* 8, 1983, s. 819-835.

40. Kreutzberg GW. Microglia: a sensor for pathological events in the CNS. *Trends Neurosci* 19, 1996, s. 312-318.
41. Langmeier M. Programmed neuronal cell death. *Cesk Fysiol* 44, 1995, s. 188-190.
42. Langmeier M, Folbergrova J, Haugvicova R, Pokorny J, Mares P. Neuronal cell death in hippocampus induced by homocysteic acid in immature rats. *Epilepsia* 44, 2003, s. 299-304.
43. Langmeier M, Folbergrova J, Haugvicova R, Riljak V. Neuroprotective effect of (R,S)-4-phosphonophenylglycine against neuronal damage associated with homocysteic acid-induced seizures in immature rats. *Prague Med Rep* 107, 2006, s. 421-432.
44. Lassmann H, Petsche U, Kitz K, Baran H, Sperk G, Seitelberger F, Hornykiewicz O. The role of brain edema in epileptic brain damage induced by systemic kainic acid injection. *Neuroscience* 3, 1984, s. 691-704.
45. Li Y, King MA, Grimes J, Smith N, de Fiebre CM, Meyer EM.  $\alpha 7$  Nicotinic receptor mediated protection against ethanol-induced cytotoxicity in PC12 cells. *Brain Res* 816, 1999, 225-228.
46. Lothman EW, Collins RC. Kainic acid induced limbic seizures: metabolic, behavioral, electroencephalographic and neuropathological correlates. *Brain Res* 218, 1981, s. 299-318.
47. Maggio R, Riva M, Vaglini F, Fornai F, Molteni R, Armogida M, Racagni G, Corsini GU. Nicotine prevents experimental parkinsonism in rodents and induced striatal increase of neurotrophic factors. *J Neurochem* 71, 1998, s. 2439-2446.
48. Mander P, Brown GC. Nitric oxide, hypoxia and brain inflammation. *Biochem Soc Trans* 32, 2004, s. 1068-1069.
49. Milatovic D, Gupta RC, Dettbarn WD. Involvement of nitric oxide in kainic acid-induced excitotoxicity in rat brain. *Brain Res* 957, 2002, s. 330-337.
50. Minana MD, Montoliu c, Llansola M, Grisolia S, Felipe V. Nicotine prevents glutamate-induced proteolysis of the microtubule-associated protein MAP-2 and glutamate neurotoxicity in primary cultures of cerebral neurons. *Neuropharm* 37, 1998, s. 847-857.
51. Mouchova D, Schmidtova K, Rybarova S, Lovasova K, Pomfy M, Prosova T, Vatlak A. Partial colocalization of NADPH-diaphorase and acetylcholinesterase positivity in spinal cord neurons. *Physiol Res* 49, 2000, s. 151-155.
52. Murray CJL, Lopez AD. Alternative projections of mortality and disability by cause 1990-2020: global burden of disease study. *Lancet* 349, 1997, s. 1498-1504.
53. Newman MB, Arendash GW, Shytle RD, Bickford PC, Tighe T, Sanberg PR. Nicotine's oxidative and antioxidant properties in CNS. *Life Sci* 71, 2002, s. 2807-2820.
54. Nitsch C, Goping G, Klatzo I. Pathophysiological aspects of blood-brain barrier permeability in epileptic seizures. *Excitatory amino acids and epilepsy*, New York, 1986, s. 175-189.
55. Olney JW, Fuller T, De Gubareff T. Acute dendrotoxic changes in the hippocampus of kainate-treated rats. *Brain Res* 176, 1979, s. 91-100.
56. Olney JW, Rhee V, Ho OL. Kainic acid: a powerful neurotoxic analogue of glutamate. *Brain Res* 77, 1974, s. 507-512.
57. Olney JW. Neurotoxicity of excitatory amino acids. In: *Kainic acid as a tool in neurobiology*. McGee EG, Olney JW, McGee PL. (eds.) Raven Press, New York, s. 95-112. 1978
58. Picciotto MR, Zoli M. Nicotinic receptors in ageing and dementia. *Psychopharmacology* 184, 2002, s. 540-546.
59. Pokorný J. Stavba hippocampálního systému. *Čes. Fyz.* 31, 1982, s. 397-414.
60. Prendergast MA. Chronic nicotine exposure reduces N-methyl-D-aspartate receptor-mediated damage in the hippocampus without altering calcium accumulation or extrusion: evidence of calbindin-D28K overexpression. *Neuroscience* 102, 2001, s. 75-85.

61. Proctor MR, Fornai F, Afshar JKB, Gale K. The role of nitric oxide in focally-evoked limbic seizures. *Neurosci* 76, 1996, s. 1231-1236.
62. Riljak V, Langmeier M. Nicotine an efficient tool of the neurobiological research today, tool of treatment tomorrow? *Prague Med Rep* 106, 2005, s. 329-448.
63. Riljak V, Mikotova M, Jandova K, Langmeier M, Maresova D, Pokorny J, Trojan S. Repeated kainic acid administration and hippocampal neuronal degeneration. *Prague Med Rep* 106, 2005, s. 75-78.
64. Riljak V, Milotová M, Jandová K, Marešová D, Pokorný J, Trojan S, Langmeier M. Changes in the number of nitrergic neurons in rats hippocampus following nicotine administration. *Prague Med Rep* 107, 2006, s. 117-124.
65. Rodrigo J, Fernandez AP, Serrano J, Peinado MA, Martinez A. The role of free radicals in cerebral hypoxia and ischemia. *Free Radic Biol Med* 39, 2005, s. 26-50.
66. Sanelli T, Ge W, Leystra-Lantz C, Strong MJ. Calcium mediated excitotoxicity in neurofilament aggregate-bearing neurons in vitro is NMDA receptor dependant. *J Neurol Sci*, 256, 2007, s. 39-51.
67. Shin EJ, Chae JS, Jung ME, Bing G, Ko KH, Kim WK, Wie MB, Cheon MA, Nah SY, Kim HC. Repeated intracerebroventricular infusion of nicotine prevents kainate-induced neurotoxicity by activating the  $\alpha 7$  nicotinic acetylcholine receptor. *Epilepsy Res* 73, 2007, s. 292-298.
68. Schmued LC, Albertson C, Slikker W Jr. Fluoro-Jade: a novel fluorochrome for the sensitive and reliable histochemical localization of neuronal degeneration. *Brain Res* 751, 1997, s. 37-46.
69. Schmued LC, Stowers ChC, Scallet AC, Xu L Fluoro-Jade C results in ultra high resolution and contrast labeling of degenerating neurons. *Brain Res* 1035, 2005, s. 24-31.
70. Schuman EM, Madison DV. A requirement for the intercellular messenger nitric oxide in long-term potentiation. *Science* 254, 1994, 326-328.
71. Shinozaki H, Konishi S. Actions of several anthelmintics and insecticides on rat cortical neurons. *Brain Res* 24, 1970, s. 368-371.
72. Smialowski A, Smialowski M. The effect of epileptiform discharges evoked by intrahippocampal injection of kainic acid on cholinergic and catecholaminergic hippocampal afferents. *Neuroscience* 6, 1981, s. 2519-2528.
73. Sperk G, Lassmann H, Baran H, Kish SJ, Seitelberger F, Hornykiewicz O. Kainic acid induced seizures: neurochemical and histopathological changes. *Neuroscience* 10, 1983, s.1301-1315.
74. Sperk G. Kainic acid seizures in the rat. *Prog Neurobiol* 42, 1994, s. 1-32.
75. Tanaka T, Kaijima m, Daita G, Ohgami S, Yonemasu Y, Riche D. Electroclinical features of kainic acid induced status epilepticus in freely moving cats. Microinjection into the dorsal hippocampus. *Electroenceph Clin Neurophysiol* 54, 1982, s. 288-300.
76. Unnerstall JR, Wamsley JK. Autoradiographic localisation of high-affinity [3H]kainic acid binding sites in the rat forebrain. *Eur J Pharmac* 86, 1983, s. 361-371.
77. Vaslin A, Puyal J, Borsello T, Clarke PG. Excitotoxicity-related endocytosis in cortical neurons. *JNeurochem*, 2007, v tisku.
78. Wang TJ, Lue JH, Shieh JY, Wen CY. The distribution and characterization of NADPH-d/NOS-IR neurons in the rat cuneate nucleus. *Brain Res* 910, 2001, s. 38-48.
79. Wang Q, Yu S, Simonyi A, Sun GY, Sun AY. Kainic acid-mediated excitotoxicity as a model for neurodegeneration *Mol Neurobiol* 31, 2005, s. 3-16.
80. Zaczek R, Schwarcz R, Coyle JT. Long-term sequelae of striatal kainate lesion. *Brain Res* 152, 1978, s. 626-632.

81. Zhang J, Jin B, Li L, Block ER, Patel JM. Nitric oxide-induced persistent inhibition and nitrosylation of active site cysteine residues of mitochondrial cytochrome-c oxidase in lung endothelial cells. *Am J Physiol Cell Physiol* 288, 2005, s. 840-849.
82. Zhou FM, Liang Y, Dani JA. Endogenous nicotinic cholinergic activity regulates dopamine release in the striatum. *Nat Neurosci* 4, 2001, s. 1224-1229.

### Přehled vědecké a publikační činnosti

#### Články s IF:

1. **Riljak V.**, Milotová M., Jandová K., Pokorný J., Langmeier M.: Morphological Changes in the Hippocampus Following Nicotine and Kainic Acid Administration  
v tisku ve *Physiological Research* (IF 1.809)
2. Milotová M., **Riljak V.**, Bortelová J., Marešová D., Pokorný J., Langmeier M.: Changes of hippocampal neurons after perinatal exposure to ethanol (perinatal ethanol abuse and hippocampal neurons)  
v tisku ve *Physiological Research* (IF 1.809)

#### Články bez IF:

3. **Riljak V.**, Milotová M., Jandová K., Langmeier M., Marešová D., Pokorný J., Trojan S.: Repeated Kainic Acid Administration and Hippocampal Neuronal Degeneration.  
*Prague Med Rep* 106 (1): 75-78, 2005
4. **Riljak V.**, Langmeier M.: Nicotine an efficient tool of the neurobiological research today, the tool of treatment tomorrow?  
*Prague Medical Report* 106 (4): 329-348, 2005
5. Milotová M., **Riljak V.**, Langmeier M., Marešová D., Jandová K., Pokorný J., Trojan S.: Effect of the Perinatal Alcohol Abuse on the Development of Neuronal Population in the Hippocampus.  
*Prague Med Rep* 106 (1): 71-74, 2005
6. **Riljak V.**, Milotová M., Jandová K., Marešová D., Pokorný J., Trojan S., Langmeier M.: Changes in the number of nitergic neurons in rats hippocampus following nicotine administration.  
*Prague Med Report* 107 (1): 117-124, 2006
7. **Riljak V.**, Jandová K., Langmeier M.: Kainát a neurobiologie.  
*Československá fyziologie* 55 (3): 115-122, 2006
8. Milotová M., **Riljak V.**, Jandová K., Langmeier M., Marešová D., Pokorný J., Trojan S.: Alcohol abuse in mothers during gravidity and breastfeeding brings changes of hippocampal neurons in their offspring  
*Prague Med Rep* 107 (1): 103-107, 2006
9. Jandová K., **Riljak V.**, Pokorný J., Langmeier M.: Kainic acid and nitergic neurons in immature hippocampus.  
*Prague Med Report* 107 (4): 409-420, 2006
10. Jandová K., **Riljak V.**, Pokorný J., Langmeier M.: Pentylentetrazol associated changes of hippocampal neurons in immature rats.  
*Prague Med Report* 108 (1): 67-74, 2007

#### Slezdová abstrakta:

11. **Riljak V.**, Milotová M., Jandová K., Langmeier M., Marešová D., Pokorný J., Trojan S.: Repeated kainic administration and hippocampal neurons degeneration.  
81. Fyziologické dni, Košice, 2. - 4.2. 2005, *Physiol. Res.* 54: P 41, 2005
12. Milotová M., **Riljak V.**, Langmeier M., Marešová D., Jandová K., Pokorný J., Trojan S.: Effect of the perinatal alcohol abuse on the development of neuronal population in the hippocampus

81. Fyziologické dni, Košice, 2. - 4.2. 2005, *Physiol. Res.* 54: P 34, 2005
13. **Riljak V.**, Milotová M., Langmeier M.: Nikotin brání degeneraci neuronů hippocampu vyvolané podáním kyseliny kainátové. 6. Studentská vědecká konference, Praha, 23.5. 2005
14. Jandová K., **Riljak V.**, Langmeier M., Marešová D., Pokorný J., Trojan S.: Ovlivní premedikace magnéziem počet nitregních neuronů u potkanů vystavených opakovaně dlouhodobé hypoxii v průběhu rané ontogeneze? Neuroontogenetický diskusní den, Fyziologický ústav I. LF UK Praha, 14.12. 2005
15. **Riljak V.**, Milotová M., Jandová K., Marešová D., Pokorný J., Trojan S., Langmeier M.: Změny počtu nitregních neuronů v hippocampu potkanů po aplikaci nikotinu. Neuroontogenetický diskusní den, Fyziologický ústav I. LF UK Praha, 14.12. 2005
16. Milotová M., **Riljak V.**, Jandová K., Langmeier M., Marešová D., Pokorný J., Trojan S.: Změny hippocampálních neuronů u potomků matek vystavených abusu alkoholu v průběhu těhotenství. Neuroontogenetický diskusní den, Fyziologický ústav I. LF UK Praha, 14.12. 2005
17. **Riljak V.**, Milotová M., Jandová K., Langmeier M., Marešová D., Pokorný J., Trojan S.: Nicotine and kainic acid administration- changes in the density of nitregic neurons and identification of neurons extinction. Fyziologické dny, Praha, 7. - 9.2. 2006, *Physiol. Res.* 55 (4): P 40, 2006
18. **Riljak V.**, Langmeier M.: Nikotin zmírni degeneraci hippocampu vyvolanou podáním kainátu 7. Studentská vědecká konference, Praha, 23.5. 2006
19. **Riljak V.**, Milotová M., Jandová K., Langmeier M., Marešová D., Pokorný J., Trojan S.: Nicotine and kainic acid administration- changes in the density of hippocampal neurons. Joint Meeting of German Society of Physiology and The Federation of European Physiological Societies, Munich-Germany, 26.3 - 29.3. 2006, *Acta Physiologica* 186 (1): P 116, 2006
20. Milotová M., **Riljak V.**, Pokorný J., Langmeier M.: Effect of the perinatal alcohol abuse on the development of neuronal population in rats. Joint Meeting of German Society of Physiology and The Federation of European Physiological Societies, Munich-Germany, 26.3 - 29.3. 2006, *Acta Physiologica* 186 (1): P 213, 2006
21. Milotová M., **Riljak V.**, Langmeier M., Marešová D., Jandová K., Pokorný J., Trojan S.: Alcohol abuse in mothers during gravidity and changes of hippocampal neurons in their offspring. Fyziologické dny, Praha, 7. - 9.2. 2006, *Physiol. Res.* 55 (4): P 34, 2006
22. **Riljak V.**, Milotová M., Jandová K., Marešová D., Pokorný J., Langmeier M.: Changes in the nitregic Neuronal Population of the Rat's Hippocampus Following Nicotine and Kainic Acid Administration. Fyziologické dny, Brno, 6. - 8.2. 2007, *Physiol. Res.* v tisku, 2007.
23. Jandová K., Langmeier M., Marešová D., Pokorný J., **Riljak V.**, Trojan S.: Influence of calcium and hypoxia on nitregic neuronal population of the rats hippocampus. Fyziologické dny, Brno, 6. - 8.2. 2007, *Physiol. Res.* v tisku, 2007.

### Summary

Using histochemical analysis (NADPH-diaphorase, Fluoro-Jade B dye and bis-benzimide 33342 Hoechst) we studied the influence of intraperitoneal administration of nicotine, kainic acid and combination of both these substances on hippocampal neurons and their changes. In experiments, 18- 25- and 35-day-old male rats of the Wistar strain were used. 30 minutes prior to the kainic acid application (10 mg/kg), animals were pre-treated with 1mg/kg of nicotine. After 2 days, the animals were transcardially perfused with 4% paraformaldehyde under deep thiopental anaesthesia. Cryostat sections were stained to identify NADPH-diaphorase positive neurons that were then quantified in the CA1 and CA3 areas of the hippocampus, in the dorsal and ventral blades of the dentate gyrus and in the hilus of the dentate gyrus. Fluoro-Jade B positive cells were examined in the same areas, to elucidate possibly neurodegeneration.

Results have shown that nicotine administration brings about the increase of the density of NADPH-diaphorase positive neurons in CA1 and CA3 areas of the hippocampus and in the hilus of the dentate gyrus in 18-day-old animals, in 25-day-old animals in CA3 area of the hippocampus, hilus of the dentate gyrus and in the ventral blade of the dentate gyrus, in 35-day-old animals only in the CA3 area of the hippocampus and hilus of the dentate gyrus.

Administration of kainic acid brought about decrease of nitregic neurons in CA1 and CA3 areas of the hippocampus and in the hilus of the dentate gyrus in 18-day-old animals and in all studied regions of the hippocampus in 25- and 35-day-old animals.

Nicotine pretreatment 30 minutes before kainic acid administration, compared to control group brought about decrease of nitregic neurons in CA1 area of the hippocampus and ventral blade of the dentate gyrus and in the hilus of the dentate gyrus in 35-day-old animals, in CA1 and CA3 areas of the hippocampus and in the dorsal blade of the dentate gyrus in 25-day-old animals, in CA1 area of the hippocampus in 18-day-old animals.

Nicotine pretreatment 30 minutes before kainic acid administration, compared to group, which received kainic acid only brought about increase of nitregic neuron in CA1 area of the hippocampus and brought about decrease in ventral blade of the dentate gyrus, in 25-day-old animal brought about increase of nitregic neurons in CA1 and CA3 areas of the hippocampus, in ventral blade of the dentate gyrus and in the hilus of the dentate gyrus, the density decreased in dorsal blade of the dentate gyrus, in 18-day-old animals the density of NADPH-d positive neurons increased in CA3 area of the hippocampus.

Presented results allow following conclusions:

1. Kainic acid administration decreases or unchanged the density of NADPH-d positive neurons in the hippocampus (working hypothesis I was not fully confirmed)
2. Nicotine administration increases or unchanged the density of NADPH-d positive neurons in the hippocampus (working hypothesis II was not fully confirmed)
3. Nicotine pretreatment before kainic acid administration can both increase and decrease the number of NADPH-d positive neurons in the hippocampus (working hypothesis III was not confirmed)
4. Nicotine pretreatment before kainic acid administration leads to a lesser extent exhibited degeneration (working hypothesis IV was confirmed)

Our results show, that both nicotine and kainic acid influence hippocampal nitregic system strongly. This effect is age dependent and region specific. Nicotine attenuates the pathological changes in hippocampus associated with kainic acid administration.